



(11) RO 123504 B1

(51) Int.Cl.

E21B 17/042 (2006.01).

E21B 19/16 (2006.01).

F16L 25/00 (2006.01)

(12)

BREVET DE INVENTIE

(21) Nr. cerere: a 2007 00069

(22) Data de depozit: 31.01.2007

(45) Data publicării mențiunii acordării brevetului: 30.01.2013 BOPI nr. 1/2013

(30) Prioritate:
31.01.2006 US 11/342,526

(41) Data publicării cererii:
30.07.2008 BOPI nr. **7/2008**

(73) Titular:
• SIDERCA S.A.I.C.,
AVDA. LEANDRO N. ALEM 1067, PISO 27,
BUENOS AIRES, AR

(72) Inventor(s):
• ERNST HUGO A.,
AVDA. LEANDRO N. ALEM 1067, PISO 27,
BUENOS AIRES, AR.

**VILLASANTE JOSE A.,
AVDA.LEANDRO N.ALEM 1067, PISO 27,
BUENOS AIRES, AR**

(74) Mandatar:

CABINET ENPORA S.R.L.,

STR. GEORGE CALINESCU NR. 52A,
107-107B BUCURESTI

(56) Documente din stadiul tehnicii:

BO 122159 B1: US 6764108 B2

(54) **ÎMBINARE ÎMBUNĂTĂȚITĂ DE PRĂJINĂ DE POMPARE
TUBULARĂ, CU UN AL DOILEA PRAG DE DESCĂRCARE A
MOMENTULUI DE TORSIUNE**

(57) Rezumat:

Invenția se referă la o îmbinare între două prăjini de pompare tubulare, care intră în alcătuirea unei garnituri de prăjini de pompare tubulare, prin intermediul căreia este transmis, de la suprafață, un moment de torsiune pentru antrenarea unei pompe rotative submersibile, folosită pentru extractia la suprafață a ţățeului provenit într-o gaură forată dintr-un strat productiv. Îmbinarea conform inventiei cuprinde două capete (3.a și 3.b) adiacente, aparținând celor două prăjini (3) de pompare tubulare, de formă tronconică la exterior, prevăzute, fiecare, cu câte unul dintre niște fileturi (5.a și 5.b), pe suprafață tronconică, prin intermediul cărora este realizată îmbinarea prin înfiletare cu niște fileturi practicate pe niște capete (1.a și 1.b) de formă tronconică, la interior, ale unui niplu (2), capetele (3.a și 3.b) prăjinilor (3) fiind prevăzute cu niște suprafete (4.a și 4.b) frontale de forma unor praguri, care, prin îmbinarea prăjinilor (3), cu ajutorul niplului (2), ajung în contact cu niște suprafete (2.a și 2.b) laterale, care formează niște

alte praguri ale niplului (2), unghiu format între planul în care este conținut contactul acestor suprafețe (4.a, 2.a și 4.b, 2.b) și axa prăjinilor (3) având o valoare de 75...90° și, de preferință, 83°.

Revendicări: 17

Figuri: 23

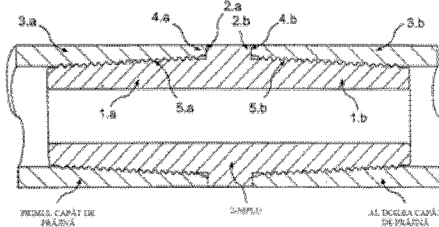


Fig. 2

Examinator: ing. COMĂNESCU ROMIȚA



Orice persoană are dreptul să formuleze în scris și motivat, la OSIM, o cerere de revocare a brevetului de inventie, în termen de 6 luni de la publicarea mențiunii hotărârii de acordare a acesteia

1 Prezenta invenție se referă la un ansamblu de prăjini de pompare, tubulare, pentru
 transmiterea momentului de torsiune, utilizat la echiparea sondelor de extractie.

3 Extragerea cu sonde de tip neeruptiv este realizată prin intermediul sistemelor de
 pompare. Sistemul cel mai obișnuit utilizează o pompă alternativă, localizată la baza sondelor
 forate, acționată de o garnitură de prăjini de pompare care conectează baza sondelor forate
 cu suprafața, unde este localizată o unitate de pompare alternativă, pentru acționarea
 garniturii în sus și în jos. Prăjinile de pompare din stadiul tehnicii, prin urmare, au fost
 proiectate inițial, doar pentru a avea o mișcare rectilinie alternativă în sus și în jos, și au fost
 fabricate conform standardelor API 11B, utilizând prăjini pline de oțel, cu un capăt îngroșat
 și un capăt filetat, fiecare fișă având o secțiune cilindrică plină. Tipic, prăjinile au fost
 îmbinate una cu cealaltă prin intermediul unui cuplaj filetat cilindric. O pompare mai eficientă
 se realizează atunci când se utilizează o pompă de extracție a petrolului cu cavitate
 progresivă (PCP), sau cu pompa rotativă la talpa sondelor. Printre alte avantaje, pomparea
 PCP a petrolului permite viteze de extracție mai mari ale petrolului, încărcări la oboseala
 reduse, reducerea uzurii în interiorul tubingului de producție și capacitatea de a pompa petrol
 cu viscozitate ridicată și cu componente solide ridicate. Pompele PCP sunt instalate la baza
 sondelor forate și acționate de la suprafață printr-un motor electric conectat la o cutie de viteze
 reducătoare, prin intermediul unei garnituri de prăjini de transmitere a momentului de
 torsiune. Pentru acționarea pompelor PCP, se utilizează tradițional prăjini de pompare
 standard API, indiferent de faptul că aceste prăjini nu au fost proiectate să transmită încărcări
 torsionale. Transmiterea momentului de torsiune prin intermediul garniturilor convenționale
 de prăjini de pompare prezintă următoarele dezavantaje: i. capacitate redusă de transmitere
 a momentului de torsiune, ii. rotație inversă ridicată, iii. rezistență redusă la supramoment
 de torsiune, iv. o diferență de rigiditate mare între îmbinare și corpul prăjinii, toți factori care
 măresc posibilitatea de rupturi cauzate de oboseala metalului. Motivul ruperii la acest tip de
 prăjină convențională este defectul datorat oboselii în zona de joncțiune a capului prăjinii cu
 corpul acesteia. Datorită diferenței de rigiditate structurală dintre cele două părți - corpul
 prăjinii și capul prăjinii.

29 Pentru o anumită suprafață a secțiunii transversale, transmiterea momentului de
 torsiune de către o prăjină tubulară cu o secțiune transversală inelară este mai eficientă
 decât cu o secțiune transversală circulară plină, mai îngustă. Având în vedere conceptul
 menționat mai sus, stadiul tehnicii include o prăjină de pompare tubulară, care utilizează în
 mod simplu un fișă cilindric exterior standard API, pe un prim conector de capăt, și un fișă
 intern API, pe un al doilea conector de capăt, fiecare conector fiind sudat cap la cap de un
 corp de țeavă, care creează o schimbare semnificativă și abruptă de secțiune între corpul
 de țeavă și fiecare corp de conector, de exemplu, EP 0145154 A1.

37 În stadiul tehnicii, sunt discutate diverse aranjamente de filete și praguri în legătură
 cu îmbinarea prăjinii de foraj a sondelor de petrol, tubajul sondelor și tubing. De exemplu, Pfeiffer
 și colab. (US 4955644), Carstenson (US 5895079), Gandy (US 5906400), Mithoff (US
 262086), Blose (US 4600225), Watts (US 5427418; 4813717; 4750761), Shock și colab. (US
 6030004), și Hardy și colab. (US 3054628). Brevetele Watts implică faptul că un standard
 API, înainte de 1986, pentru garnituri de coloane de tubare și tubing, a fost un fișă cilindric,
 cu un guler îndoit, și că această îmbinătățire a cuprins o legătură tubulară cu îmbinare cu
 mufă din corp cu ambele filete conice și un prag de moment de torsiune. Watts se referă, de
 asemenea, la standarde API pentru tubing și coloana de tubare, unde filetele triunghiulare
 și filetele trapezoidale pot fi utilizate cu un prag de moment de torsiune. Brevetul din 1990
 al lui Pfeiffer și colab., și brevetul din 1996 al lui Carstensen și colab., dimpotrivă, se referă
 la un standard API mai curent (fișă triunghiular cu vârf și fund drepte, îmbinare utilizând un

RO 123504 B1

prag de moment de torsiune), pentru garnituri de coloane de tubare și tubing care par să implice filete tronconice și praguri. Carstensen și colab. la col 7, rândul 9, include o discuție despre cum un gradient conic particular și lungimea unui filet definesc rezultatele distribuției tensiunilor. De asemenea, Pfeiffer și colab. la col 2, rândul 51, spun că filetele lor sunt conice și conform "standardelor API", îmbunătățirea lor având de a face esențial, doar cu dimensiunile de trecere. Astfel, problema adresată de Pfeiffer este un ansamblu de secțiuni de prăjini de foraj unde aparent a fost critică utilizarea unui filet compatibil și nediferențial standard, conform standardelor API, și de asemenea, fără filete incomplete și fără precizarea pragului de moment de torsiune. Principalele caracteristici ale filetelui lui Pfeiffer par să fie filete triunghiulare cu vârf și fund drepte, simetrice (între 4 și 6 filete per țol, unghiul flancului 60°) și o înălțime a filetelui care este aceeași pentru filetul exterior și interior (între 1,42 și 3,75 mm). De asemenea, există o conicitate nominală identică la capetele exterioare și interioare (între 0,125 și 0,25 mm). Shock și colab. ilustrează un racord special particular pentru prăjini de foraj, unde avantajul neașteptat pentru aplicațiile cu prăjini de foraj derivă din filetele conice care semnificativ trebuie să fie cu pas foarte mare (3 1/2 filete per țol) și să aibă flancuri de filet cu unghi egal (75°) și suprafete de fund eliptice.

Se cunosc îmbinări din stadiul tehnicii, pentru prăjini de foraj, coloane de tubare și tubing, care utilizează într-un fel un al doilea prag de moment de torsiune, de exemplu: Schock (US 6030004); Hallez (US 5169183); Hori (US 5549336); Hali (US 4548431); Olivier (US 6485063 B1); Blose (US 4192533) și Stone (US 1932427).

Problema rotației inverse a garniturii de prăjini de pompare și detaliile unei unități de pompare la suprafața unei sonde de ție și a unei pompe rotative la talpa sondei, în funcționarea unei sonde de ție care este rezolvată în inventia de față, este rezolvată și în soluția din brevetul US 5551510 (Mills).

Ansamblul de prăjini de pompare, tubular, pentru transmiterea momentului de torsiune, conform inventiei, asigură transmiterea momentului de torsiune la garnitura de prăjini, prin alcătuirea cu un prim și un al doilea prag de moment de torsiune ale unor prăjini îmbinate într-o garnitură, care sunt utilizate pentru a roti selectiv o pompă rotativă, localizată în adâncime la talpa sondei, într-o sondă de ție, antrenată de la o unitate de pompare, localizată la suprafața sondei de ție.

Prezentarea inventiei cuprinde denumiri individuale, la care se face referire ca: "Prăjină de Pompare Tubulară" cu cel puțin un prim capăt având un filet interior și un "Element de Îmbinare" care poate fi un "Element de Îmbinare cu Niplu" separat cu o pereche de filete exterioare sau un filet exterior integral pe un al doilea capăt îngroșat al unei "Prăjini de Pompare Tubulară". Pentru a se optimiza suplimentar distribuția tensiunilor dintre elemente, se utilizează filete tronconice, simetrice, cu o conicitate diametrală diferențială și două praguri de moment de torsiune. Pragul principal de moment de torsiune este localizat pe capătul prăjinii, iar al doilea prag de moment de torsiune este localizat pe baza prăjinii. Prăjina de pompare tubulară și elementul de îmbinare sunt dimensionate pentru obținerea unui moment de torsiune de funcționare ridicat, o bună rezistență la oboseală, o bună rezistență la supramoment de torsiune și o rezistență surprinzătoare la înmagazinarea momentului de torsiune reactiv, care minimizează rotațiile inverse, periculoase, atunci când se întrarupe alimentarea garniturii de prăjini de pompare.

Ansamblul de prăjini de pompare, tubular, pentru transmiterea momentului de torsiune, conform inventiei, asigură angrenarea filetată diferențială prin aceea că ansamblul cuprinde mai multe prăjini de pompare, tubular și niște elemente de conectare, și prezintă pentru un diametru exterior al elementului de conectare DEN, un diametru interior DIN, al elementului de conectare și un diametru de început al umărului de torsiune DUT, având

1 următoarele rapoarte: DUT/DEN între minimum 0,60 și maximum 0,98; DIN/DEN între
2 minimum 0,15 și maximum 0,90 și DIN/DUT între minimum 0,25 și maximum 0,92. Raportul
3 dintre diametrul exterior al elementului de conectare DEEC și diametrul exterior al prăjinii
5 tubulare DEPT este menținut între 1 și 1,5. Raportul dintre diametrul de început al umărului
liber al filetului DICL este menținut între 1 și 1,1.

7 Prezenta inventie rezolvă problemele specificate întâmpinate în domeniu și prezintă
următoarele avantaje:

9 - îmbinările prăjinilor de foraj nu au constrângeri severe ale dimensiunilor externe ale
11 corpului prăjinii și ale dimensiunii îmbinării. Un diametru extern al prăjinii de pompă
tubulară este restricționat la diametrul intern al tubingului și tipic este $27/8"$ și $3 \frac{1}{2}"$;

13 - viteza de curgere a fluidului care este condus în spațiul inelar dintre o prăjină de
pompă tubulară și interiorul tubingului sondei forate este foarte limitată, spre deosebire de
situată pentru o prăjină de foraj.

15 În tabelul 1, de mai jos, caracteristicile principale ale unor asemenea îmbinări din
stadiul tehnicii sunt comparate cu o Prăjină de Pompă Tubulară cu un al Doilea Prag de
17 Moment de Torsiune, conform prezentei inventii, și comparate cu Prăjinile de Pompă
Tubulară cu un singur prag de moment de torsiune, aşa cum este ilustrat de SIDERCA
19 (US 6764108 B2).

RO 123504 B1

Tabelul 1

Principalele caracteristici ale Prăjinilor de Pompare Tubulare și ale altor îmbinări cu al doilea prag de moment de torsiu

Produs	Îmbinare							Observații	Încărări principale	Produse	
	Forma filetelui	Filete/țol	Conicitate diametrală țol/țol pe diametru (unghi)	Înălțimea filetelui (mm)	Gradul de terminare a filetelui	Unghiu flancului de încărcare și posterior [j] (*1)	Forma găurii interioare	Unghiu pragului de moment de torsiu	Nr. de praguri de moment de torsiu	Joc (mm) (*3)	
Prăjină Tubulară cu un prag de moment de torsiu (US 6764108)	Trapezoidal, asimetric, cu vârf și fund drept	8	Diferențial N: 0,0976 (2,79). P: 0,1 (2,86).	N: 1,016 P: 1,016	N: Complet P: Complet și incomplet	LF:4 SF:9	Conic & Cilindric	7	1	TS 1:0, 4a 1,1	Torsiune - Tracțiune Incovoiere
Prăjină Tubulară cu două praguri de moment de torsiu	Trapezoidal asimetric cu vârf și fund drept	6-8	Diferențial N: 0,0976 (2,79). P: 0,1 (2,86).	N: 1,016 P: 1,016	N: Complet P: Complet și incomplet	LF:4 SF:9	Conic & Cilindric	7	2	TS 1:0,4a 2,5 TS2:0,4a 2,53	Torsiune - Tracțiune Incovoiere
Îmbinări cu două sau trei praguri de moment de torsiu											
Brevet Schock (US 6030004)	Trapezoidal, simetric, cu vârf și fund drept	3 1/2	Nediferențial (prăjină de foraj-API)	N: ≥ 2,54 P: ≥ 2,54	N: Complet P: Complet	LF: 32,5/42,5 SF: 32,5/42,5	Cilindric	0	2	NA (poate fi TS1& TS 2:0)	Torsiune - Tracțiune Incovoiere
Brevet Hallez (US 5169183)	Trapezoidal, simetric, cu vârf și fund drept	6-8 3-13*	Nediferențial N&P: 0,035 a 0,105 (1 a 3).	NA Poate fi similar API	N: Complet P: Complet	NA	Cilindric	<2-6	2	NA (poate fi TS 1 & TS 2:0)	Torsiune - Tracțiune - Incovoiere

RO 123504 B1

1 *Tabelul 1 (continuare)*

Produs	Filet						Îmbinare					
Brevet Hori (US 5549336)	Triunghiular, simetric, cu vârf și fund drept (prăjină de foraj-API)	4-6 (prăjină de foraj API)	Nediferențial (prăjină de foraj-API)	N&P: 1,42-3,75 (prăjină de foraj-API)	N&P: Complet (prăjină de foraj-API)	LF&SF:30 (prăjină de foraj-API)	Cilindric (prăjină de foraj-API)	0	2	NA (poate fi TS 1:0) TS2:0,la 0,5	Torsiune -Tracțiune - Încovoiere	Pentru prăjini de foraj- Interschimbabil cu prăjini de foraj API
Brevet Hali (US 4548431)	Triunghiular, simetric, cu vârf și fund drept (prăjină de foraj-API)	4-6 (prăjină de foraj API)	Nediferențial (prăjină de foraj-API)	N&P: 1,42-3,75 (prăjină de foraj-API)	N&P: Complet (prăjină de foraj-API)	LF&SF:30 (prăjină de foraj-API)	Cilindric (prăjină de foraj-API)	0	2	TS1:c1 TS 2:c2 cl < c2	Torsiune -Tracțiune - Încovoiere	Pentru prăjini de foraj - al doilea prag de moment de torsiune a fost realizat doar pentru supramoment - N&P: caneluri de descărcare
Brevet Olivier (US 6485063 B1)	Trapezoidal, asimetric, cu vârf și fund drept	NA	Nediferențial N&P: 0,33 (9,37). h1-h2=0,05 mm	N: Complet și incomplet P: Complet	LF:-15 SF:20 SF > LF	Cilindric	0	2	NA (poate fi TS 1 & TS 2:0)	Torsiune -Tracțiune - Încovoiere	Pentru garnituri de foraj Filet: LF are formă S TS: Suprafață curbată Filet: trapezoidal, API, ACME etc.	
Brevet Blose (US 4192533)	Trapezoidal, asimetric, cu vârf și fund drept	NA	Nediferențial	NA	N: Complet P: Complet	LF: -15 SF: 30 SF > LF	Cilindric	5	3	NA	-	Pentru tubing, coloană de tubare, țeavă de conductă și prăjină de foraj
Brevet Stone (US 1932427)	Trapezoidal, simetric, cu vârf și fund drept (Acme modificat)	NA	Nediferențial N&P: 0,083 (2,5).	NA	N: Complet P: Complet	NA	Cilindric	TS 1:30 TS 2: -40	2	TS 1: cl TS 2: c2 cl > c2	-	Pentru prăjini de foraj și coloană de tubare

35 Terminologie: N= niplu; P= țeavă; NA= nu se aplică; LF= flanc de încărcare; SF= flanc posterior; TS= prag de moment de torsiune.

(*1) Unghiu definit de la o perpendiculară pe axa țevii.

(*3) Jocul dintre suprafețele pragului de moment de torsiune ale țevii și niplului după strângerea manuală a îmbinării; TS 1: primul prag de moment de torsiune sau pragul de moment de torsiun exterior; TS 2: al doilea prag de moment de torsiune sau pragul de moment de torsiune interior.

RO 123504 B1

Tabelul 2

Principalele caracteristici ale Prăjinilor de Pompare Tubulare și ale altor îmbinări cu doar un prag de moment de torsiu (US 6764108)

Produs	Filet						Îmbinare						1 3 5 7 9 11 13 15 17 19 21 23 25 27 29 31 33 35
	Forma filetului	Filete/ țol	Conicitate diametrală țol/țol pe di am etru (unghi)	Înălțimea filetului (mm)	Gradul de terminare a filetului	Unghiu l flancului de încărcare și posterior [j] (*1)	Forma găurii interioare	Unghiu l pragului de moment de torsiu	Nr. de praguri de moment de torsiu	Suprafața exteroară a îmbinării	Încărări principale	Observații	
Prăjină Tubulară cu un prag de moment de torsiu (US 6764108)	Trapezoidal, asimetric, cu vârf și fund drept	8	Diferențial N: 0,0976 (2,79). P: 0,1 (2,86).	N: 1,016 P: 1,016	N: Complet P: Complet și incomplet	LF:4 SF:9	Conic & Cilindric	7	1	La același nivel	Torsiune Tracțiune, Încovoiere	Pentru prăjini de pompare tubulare - Brevet acordat în SUA, Franța și Argentina	9 11 13 15
Prăjină Tubulară cu două praguri de moment de torsiu	Trapezoidal, asimetric, cu vârf și fund drept	6-8	Diferențial N: 0,0976 (2,79). P: 0,1 (2,86).	N: 1,016 P: 1,016	N: Complet P: Complet și incomplet	LF:4 SF:9	Conic & Cilindric	7	2	La același nivel	Torsiune - Tracțiune, Încovoiere	Pentru prăjini de pompare tubulare - Prezenta invenție	17 19 21
Îmbinări cu un prag de moment de torsiu													
Brevet Pfeiffer	Triunghiular, simetric, cu vârf și fund drept (prăjină de foraj-API)	4 - 6	Nediferențial (prăjină de foraj-API)	N&P: 1,42-3,75 (prăjină de foraj-API)	N&P: Complet (prăjină de foraj-API)	LF&SF:30 (prăjină de foraj-API)	Cilindric (prăjină de foraj API)	NA	1	Nu la același nivel	Torsiune - Tracțiune, Încovoiere	Pentru prăjini de foraj	23 25 27
Brevet Watts	Triunghiular, simetric, cu vârf și fund drept (tubing-API)	(tubin g-API)	Diferențial	Mai mică decât API	N: Complet P: Complet și incomplet	LF ≤ 15	Cilindric	-	1	La același nivel	Tracțiune - Compresie - Presiune intemă - Presiune externă	Pentru tubing	29 31 33
Prăjină de foraj (API)	Triunghiular, simetric, cu vârf și fund drept	4-6	Nediferențial N&P: 0,125-0,25	N&P: 1,42-3,75	N&P: Complet	LF &SF-30	Cilindric	0	1	La același nivel	Torsiune Tracțiune - Încovoiere	Pentru prăjini de foraj	35

RO 123504 B1

Tabelul 2 (continuare)

Produs	Filet						Îmbinare				
Tubing API 8r	Triunghiular, simetric, cu vârf și fund drept	10-6 (*)2	Nediferențial C&P: 0,0625	1,8	C: Complet P: Complet și incomplet	LF & SF:30	Cilindric	NA	1	Nu la același nivel	Tracțiune - Compresie - Presiune intemă - Presiune externă
Coloană de tubare API 8r	Trapezoidal, asimetric, cu vârf și fund drept	8	Nediferențial C&P: 0,0625	1,8	C: Complet și incomplet P: Complet	LF & SF:30	Cilindric	NA	1	Nu la același nivel	Tracțiune - Compresie - Presiune intemă - Presiune externă
Coloană de tubare API trapezoidală	Trapezoidal, asimetric, cu vârf și fund drept	5	Nediferențial C&P: 0,0625	1,575	C: Complet P: Complet și incomplet	LF & SF:10	Cilindric	NA	1	Nu la același nivel	Tracțiune - Compresie - Presiune intemă - Presiune externă
Coloană de tubare API Extreme Line	Trapezoidal, simetric, cu vârf și fund drept	6	Nediferențial C&P: 0,0625	C: 1,52 P: 1,35	C: Complet P: Complet și incomplet	LF 6	Cilindric	0	1	Nu la același nivel	Tracțiune - Compresie - Presiune intemă - Presiune externă

Terminologie: N-niplu; P=țeavă; NA=nu se aplică; LF=flanc de încărcare; SF=flanc posterior; TS=prag de moment de torsiune.

(*) 1) Unghiul definit de la o perpendiculară pe axa țevii.

(*)2) Tubing fără îngroșare 1,66" până la 3,5": 10 filete/tol, 4" și 4,5": 8 filete/tol ;Tubing cu îngroșare 1,66" și 1,9": 10 filete/ tol, 2,325" până la 4,5": 8 filete/tol.

RO 123504 B1

Tabelul 2, de mai sus, ilustrează caracteristicile principale ale unei îmbinări de prăjină de pompare tubulară cu un prag de moment de torsiune, comparativ cu o prăjină de pompare tubulară cu un prag de moment de torsiune. O altă versiune a unui singur prag de moment de torsiune, cu o a doua suprafață de angajare care acționează ca o etanșare, dar nu transmite momentul de torsiune, este ilustrată în fig. 13 și 14.	1 3 5
Mai întâi, diametrul minim al unui tubing prin interiorul căruia trebuie să funcționeze Prăjinile Tubulare corespunde tubingului API 27/8" (diametru interior=62 mm) și tubingului API 31/2" (diametru interior= 74,2 mm). Debitul de extractie al petrolului trebuie să fie de până la 500 m ³ /zi, viteza maximă de curgere a petrolului trebuie să fie de 4 m/s. Valorile menționate mai sus restricționează puternic geometria prăjinilor sub proiectare. În al doilea rând, trebuie să se asigure o Prăjină de Pompare Tubulară cu un moment de răsucire la limita de curgere ridicat, astfel încât momentul de torsiune maxim să fie transmis pompei PCP fără deteriorarea garniturii de Prăjini de Pompare Tubulară. În al treilea rând, să se minimizeze și distribuie tensiunile din secțiunile filetate. Această cerință este îndeplinită prin utilizarea unui filet conic particular, conicitate diferențială, înălțime redusă a filetelui și o gaură conică în secțiunile sub filete. În al patrulea rând, Prăjina de Pompare Tubulară trebuie să aibă o bună rezistență la oboseală. În a cincilea rând, să se asigure o rotație inversă redusă, și rezistență ridicată la încărcări axiale. În al şaselea rând, trebuie asigurată ușurință înșurubării și deșurubării (asamblarea părților filetate de cuplare), și aceasta este printr-un filet conic. În al șaptelea rând, să asigure o rezistență ridicată la deșurubarea Prăjinii de Pompare Tubulară, datorită rotației inverse, sau rotația inversă a unei garnituri de prăjini de pompare atunci când motorul de antrenare încetează să mai funcționeze și pompa acționează ca un motor. Si în al optulea rând, să asigure o rezistență ridicată la ieșirea garniturii de Prăjini de Pompare Tubulară Prăjină Tubulară separată la secțiunile filetate) prin intermediul unui profil adecvat de filet și unghi invers pe pragul de moment de torsiune. În al nouălea rând, să minimizeze pierderea de presiune a fluidelor care pot fi pompeate ocazional pe interiorul Prăjinii de Pompare Tubulară prin avantajul adăugat al unui orificiu conic pe niplu și al doilea prag de moment de torsiune. În al zecelea rând, să asigure etanșeitatea îmbinării, datorită unei etanșări la ambele praguri de moment de torsiune, și de asemenea datorită interferenței diametrale la filete. În al unsprezecelea rând, un profil de filet proiectat astfel încât să optimizeze utilizarea grosimii peretelui țevii. În al doisprezecelea rând, să eliminate utilizarea sudurilor datorită susceptibilității sudurilor la deteriorarea prin oboseală, deteriorarea prin crăpături datorită tensiunilor de la sulfură și de asemenea costurile mai ridicate de fabricare. Treisprezece: atunci când un fluid curge prin interiorul prăjinii cu viteză rezonabilă, produce uzura prematură a niplului și prăjinii în zona unde acestea se îmbină (se suprapun), astfel, s-a introdus o etanșare printr-un al doilea prag de moment de torsiune, la fiecare capăt al niplului, care asigură, de asemenea, o rezistență ridicată la un supramoment al îmbinării. Paisprezece: pentru a crește substanțial fluxul de fluid extras, s-au executat găuri în corpul prăjinii, pentru a permite fluidului să curgă prin interiorul prăjinii.	7 9 11 13 15 17 19 21 23 25 27 29 31 33 35 37 39 41 43 45 47 49
Un prim obiectiv al prezentei invenții este de a furniza un ansamblu de prăjini de pompare și fie îmbinări filetate separate, fie o îmbinare integrală la al doilea capăt al fiecărei prăjini de pompare, pentru a activa PCP și pompele de tip rotative asemenea, capabile să transmită un moment de torsiune mai mare decât prăjinile de pompare pline descrise în Norma API 11 B, și având, de asemenea, o bună rezistență la oboseală, și rezistență îmbunătățită la momentul de supratoriune. În plus, prezenta inventie caută să definească o îmbinare filetată pentru prăjini de pompare tubulare, care este diferită semnificativ de/și incompatibilă cu standardul pentru ansambluri de prăjini de pompare definite în Norma API 11 B, dar care pot fi totuși încă asamblate cu ușurință. De fapt, filetul trapezoidal modificat	41 43 45 47 49

1 este unic prin aceea că este diferențial. De exemplu, coloana de tubare trapezoidală API
2 necesită filete nediferențiale, conicitatea atât pentru țeavă, cât și cuplare, fiind 0,625 țoli/țol
3 de diametru. Asemenea, coloana de tubare API 8r și tubingul API 8r necesită amândouă, de
5 asemenea, filete nediferențiale, conicitatea atât pentru țeavă, cât și cuplare, fiind 0,
7 625 țoli/țol de diametru. Mai departe, niciuna dintre coloanele de tubare trapezoidale API,
9 coloana de tubare API 8r și tubingul API 8r nu utilizează niciun mod de prag de moment de
11 torsiune, ca să nu mai vorbim de primul și al doilea prag moment de torsiune. De exemplu,
13 în tabelul 2 îmbinările arată un prag de moment de torsiune.

15 Un obiectiv al prezentei invenții este de a furniza un ansamblu de prăjini de pompare
17 și îmbinări cu o tendință mai mică de decuplare a îmbinărilor oricând apare "rotația inversă",
19 fie din accident fie când este provocată intenționat, prin dezactivarea acționării pompei.
Prezenta invenție scade în mod surprinzător și semnificativ energia torsională înmagazinată
într-o garnitură de prăjini de pompare. Energia înmagazinată în garnitură este invers
proportională cu diametrul prăjinii, și este direct proporțională cu momentul de torsiune
aplicat și lungimea garniturii.

21 Un alt obiectiv al invenției este de a furniza un ansamblu de prăjini de pompare care
23 sunt tubulare și configurate cu un orificiu, pentru a permite trecerea uneltelor (de exemplu,
25 senzori pentru controlul sondelor forate) și/sau să permită circulația interioară a fluidelor (de
exemplu, injectarea de solventi și/sau inhibitori de rugină).

27 Variantele de realizare cu două praguri de moment de torsiune dezvăluite aici au un
29 moment de răsucire la limita de curgere mai mare decât o prăjină de pompare tubulară cu
31 doar un prag de moment de torsiune, așa cum este ilustrat de brevetul US 6764108.

33 Cele două praguri de moment de torsiune, variantele de realizare opt și nouă,
35 dezvăluite aici, au un moment de răsucire la limita de curgere a îmbinării, care este cu până
la 110 procente mai mare decât o altă prăjină de pompare tubulară, corespunzătoare, cu
doar un prag de moment de torsiune.

37 Încă un alt obiectiv al invenției este optimizarea suplimentară a distribuției tensiunilor
39 între elemente, prin combinația utilizării de filete asimetrice, tronconice, cu o conicitate
41 diametrală diferențială și două praguri de moment de torsiune. Primul prag de moment de
43 torsiune de pe prăjină sau cel principal este localizat pe capătul prăjinii, iar al doilea prag de
45 moment de torsiune de pe prăjină sau cel secundar este localizat la baza prăjinii. Prăjina de
47 pompare tubulară și elementul de îmbinare sunt dimensionate, pentru a se obține un moment
49 de torsiune de funcționare ridicat, o bună rezistență la oboseală, o bună rezistență la
supramoment și o rezistență surprinzătoare la înmagazinarea momentului de torsiune
reactiv, care minimizează rotația inversă periculoasă, atunci când este întreruptă alimentarea
garniturii de prăjini de pompare.

51 Prezenta invenție rezolvă obiectivele propuse din domeniu, prin furnizarea unui nou
tip de Prăjină de Pompare Tubulară, alcătuită, în esență, dintr-o secțiune centrală de țeavă,
53 cu sau fără o îngroșare, cu cel puțin un filet conic de piuliță sau interior, la un prim capăt
având o ieșire a filetelui în interiorul prăjinii și un prag de moment de torsiune exterior conic.
55 Acest prim capăt este configurat să se cupleze cu un filet de șurub sau exterior
corespunzător care este diferențial și de asemenea să se sprijine contra unui prag de
57 moment de torsiune conic cu fiecare cealaltă prăjină cu un Element de Îmbinare integral
59 filetat exterior ca al doilea capăt al ei, sau unul dintre pragurile dintre filetele exterioare ale
61 unui Element de Îmbinare cu Niplu separat. Dacă sunt utilizate Elemente de Îmbinare cu
63 Nipluri separate, atunci, al doilea capăt al prăjinii de pompare este întotdeauna același cu
65 primul capăt. Dacă nu sunt utilizate Elemente de Îmbinare cu Niplu separate, atunci al doilea
67 capăt al prăjinii de pompare este configurat cu un capăt îngroșat, având un filet conic,
69 exterior, adaptat să se angajeze cu primul capăt al unei alte Prăjini de Pompare Tubulare.

RO 123504 B1

Un Element de Îmbinare cu Niplu este alcătuit, în esență, dintr-o secțiune cilindrică, centrală, cu o pereche de praguri de moment de torsiune externe, conice. Pragurile de moment de torsiune au un diametru mediu și suprafață a secțiunii transversale maximizate, pentru a rezista înmagazinării momentului de torsiune reactiv în garnitura de antrenare. De preferință, niplul are de asemenea o secțiune a peretelui care crește către pragurile de moment de torsiune de la fiecare capăt liber, pentru a crește rezistența la oboseală. Pentru a optimiza suplimentar distribuția tensiunilor între elemente, se utilizează un tip specific de filet cu o conicitate diferențială. Configurația globală asigură o rezistență ridicată la forfecare, concentrare redusă a tensiunilor și o surprinzătoare rezistență la înmagazinarea momentului de torsiune reactiv, care minimizează rotația inversă periculoasă, atunci când se îtrerupe alimentarea garniturii de prăjini de pompare.

Piesa cu Element de Îmbinare cu Niplu are, de asemenea, filete exterioare asymmetrice, trapezoidale, la fiecare capăt sau extremitate, separate de o pereche de elemente de angajare prag, dar acel filet exterior este diferențial față de conicitatea diametrală a filetelui interior, cel puțin de pe primul capăt al unei Prăjini de Pompare Tubulare. Niplul filetat și prăjina pot fi unite cu sau fără discontinuitatea diametrului exterior. Raportul dintre diametrul îmbinării și diametrul prăjinii poate fi între 1, fără discontinuitatea diametrelor, până la un maximum de 1,5. În acest mod, valoarea medie a diametrului extern, pe toată lungimea garniturii, va fi întotdeauna mai mare decât cel al unei prăjini pline cu suprafață echivalentă a secțiunii transversale cuplată de un mijloc de îmbinare convențional. Astfel, pentru o anumită lungime a garniturii și suprafață a secțiunii transversale, rezistența la "rotație inversă" va fi mai mare la un ansamblu conform prezentei invenții. Dimensiunile niplului pot fi, de asemenea, definite cu un orificiu interior conic apropiat de lungimea fiecărei extremități filetate, pentru a îmbunătăți suplimentar o distribuție omogenă a tensiunilor pe toată lungimea fiecărui filet și în porțiunea centrală de corp a Elementului de Îmbinare cu Niplu. În acest fel, este posibil să se obțină un raport dorit al diametrelor capătului filetat al niplului față de diametrul intern, și un raport al diametrului exterior al niplului față de diametrul interior și un raport suplimentar între diametrul exterior al niplului și diametrul fiecărei extremități filetate.

Într-o primă variantă a prezentei invenții, caracteristicile esențiale ale unei Prăjini de Pompare Tubulare sunt cel puțin un prim capăt al unui element tubular filetat cu un filet interior conic care este configurat ca un filet SEC sau Filet Trapezoidal modificat cu ieșire în interiorul elementului tubular, în combinație cu o suprafață frontală conică la un unghi între 75 și 90°, cunoscut drept prag de moment de torsiune. Diametrul extern al variantelor de realizare HSR 48x6 cu trecere exterioară la același nivel și HSR 42x5 îngroșat cuprind un element de corp de prăjină tubular, departe de capete fiind 48,8 sau 42 mm și diametrul extern al elementului tubular în capătul îngroșat al unei prăjini de 42 mm fiind 50 mm. Aceste dimensiuni sunt critice din moment ce prăjini de pompare cu acel diametru maximum se pot monta în tubinguri standard de 27/8 țoli (diametru interior 62 mm). Pentru tubingul de 31/2 țoli (diametru interior 74,2 mm), se poate utiliza pentru un avantaj maxim HSR 48x6 îngroșat, cu un diametru la capătul îngroșat de 60,6 mm. Forma filetelui este trapezoidală și asymmetrică, cu o conicitate diametrală în secțiunea filetată. Lungimea filetelor pe cel puțin primul capăt al elementului tubular este incompletă, datorită ieșirii filetelui în interiorul elementului tubular. Există un unghi de 83° (Beta) a suprafeței conice în pragul de moment de torsiune, aşa cum este arătat în fig. 2A. Există raze la vârfurile interioare și exterioare ale pragului de moment de torsiune. La capătul secțiunii filetate, o secțiune cilindrică scurtă, în interiorul zonei filetate, face tranziția zonei filetate către gaura elementului tubular.

Într-o altă variantă a prezentei invenții, caracteristica esențială a unui Element de Îmbinare cu Niplu este o angajare cu filet diferențial, de fiecare parte a unei secțiuni centrale, care este cilindrică exterior cu o suprafață a secțiunii transversale mai mare în vecinătatea pragului de moment de torsiune, pentru o rezistență la oboseală îmbunătățită surprinzător.

1 De ambele părți ale acestei secțiuni centrale, sunt localizate praguri de moment de torsiune
3 externe, pentru a se cupla cu un prag de moment de torsiune pe un prim capăt al unei Prăjini
5 de Pompare Tubulară. Diametrul mediu și suprafața secțiunii transversale totale a pragului de
moment de torsiune sunt maximizate, pentru a permite gestionarea momentului de
torsiune maxim.

7 În plus, fiecare capăt al niplului filetat exterior este conic, astfel încât să se creeze o
9 suprafață a secțiunii transversale mai mare în vecinătatea pragului de moment de torsiune
11 și astfel îmbunătățește surprinzător rezistența la oboseală. Pentru a se obține acest avantaj,
13 o gaură interioară, conică, care se îngustează, începe lângă capătul liber al fiecărei
15 extremități filetate și definește astfel o secțiune transversală cu un perete cu grosime
17 crescătoare către secțiunea centrală a niplului. Diametrul extern al secțiunii centrale a
21 niplului este 50 sau 60,6 mm și această secțiune centrală poate avea prelucrată o pereche
23 de suprafete plane, diametral opuse, pentru a fi angajate de o cheie în timpul înșurubării
25 îmbinării. Filetul este un filet trapezoidal modificat, care creează o diferență datorită mărimii
27 ușor diferite a conicității filetelui diametral de pe prăjină și de pe niplu. Forma filetelui este,
29 de asemenea, trapezoidală și asimetrică. Toate filetele de pe niplu sunt complete. O pereche
de suprafete conice acționează ca praguri de moment de torsiune, cu o suprafață frontală,
conică, la un unghi între 75 și 90°. Există raze la vârfurile pragului de moment de torsiune,
atât la un colț interior, cât și la un colț exterior. De preferință, găurile conice de sub fiecare
secțiune filetată ale niplului sunt legate de o gaură cilindrică, pentru a crea o suprafață a
secțiunii transversale mai mare în imediata vecinătate a pragului de moment de torsiune,
pentru a îmbunătăți surprinzător rezistența la oboseală.

Conicitatea filetelui de pe niplu și de pe prăjină este ușor diferită (conicitate
diferențială), pentru a asigura o distribuție optimă a tensiunilor. Atunci când îmbinarea este
înșurubată, pragurile de moment de torsiune corespunzătoare de pe prăjină și de pe niplu
se aşază unul pe celălalt, astfel încât se obține o etanșare care împiedică infiltrarea fluidelor
sub presiune din exteriorul îmbinării către interior și viceversa. Acest efect de etanșare este
îmbunătățit de interferența diametrală dintre cele două secțiuni filetate cuplate de pe primul
capăt al prăjinii și de pe niplu.

Un fluid care curge prin interiorul prăjinii cu viteza rezonabilă trebuie să producă o
uzură prematură a niplului și prăjinii în zona unde acestea se îmbină (se suprapun). Acest
fenomen poate fi atribuit existenței unei "zone moarte" unde fluidele rămân aproape
nemîscate (viteză redusă). Pentru a depăși această problemă de coroziune, invenția include
modificări, astfel încât "zona moartă" nu mai există și fluidele curg liniștit și cu turbulentă
redusă. Este important de remarcat că aceste modificări sunt mici, astfel încât ele nu
modifică semnificativ distribuția tensiunilor în îmbinare sau performanța niplului.

Pentru utilizarea cu diverse variante de realizare, se recomandă o îmbunătățire
pentru a se atinge obiectivul unui flux crescut substanțial de fluid extras, printr-o modificare
suplimentară la o prăjină de pompare tubulară prin efectuarea unei serii de găuri, conform
configurațiilor 1, 2 sau 3, în prăjină, la cele două extremități ale garniturii, adică, la nivelul
solului și la fundul sondelor forate.

În variantele de realizare opt și nouă, se utilizează o pereche de praguri de moment
de torsiune în combinație cu o interferență diametrală ridicată pe secțiunile filetate și
proprietăți mecanice de material ridicate.

Variantele de realizare opt și nouă reprezintă o schimbare semnificativă față de
variantele de realizare anterioare. Se introduc un al doilea prag de moment de torsiune și o
interferență diametrală mai mare la filete. Al doilea prag de moment de torsiune este în
interiorul prăjinii, aproape de capătul filetelor interioare. Dimensiunile rezultă dintr-o analiză

RO 123504 B1

detaliată a tensiunilor, realizată pentru a-i îmbunătăți semnificativ rezistența la moment de torsiune. Al doilea prag de moment de torsiune servește ca o etanșare în maniera variantei de realizare șapte, dar adaugă avantaje semnificative suplimentare. Unghiul preferat al suprafetei conice din al doilea prag de moment de torsiune este 83°.	1
Distribuția tensiunilor pe niplu și prăjină permite o capacitate mare de transmitere a momentului de torsiune, o bună rezistență la oboseală și o bună rezistență la supramoment de torsiune. Efortul de torsiune, raportat la deformația plastică din varianta de realizare opt, este 2100 lbft (110 procente mai mult decât varianta de realizare șapte, un HR 48x6 cu trecere exterioară la același nivel cu doar un prag de moment de torsiune).	5
Dimensiunile prăjinii au fost obținute dintr-o analiză a tensiunilor. Diametrul nominal al filetului a fost de asemenea obținut dintr-o analiză a tensiunilor. Filetul este în principal complet, cu excepția unei mici lungimi, și este diferit de prima până la a șaptea variantă de realizare, care au doar un prag de moment de torsiune. Conicitatea diametrală în secțiunea filetată este similară variantei de realizare șapte.	7
Capătul niplului lucrează ca un al doilea prag de moment de torsiune al îmbinării. Grosimea capătului niplului este între 3,8 și 4,2 mm, și gaura niplului este conică în fiecare extremitate. Unghiul preferat este între 3°54' și 9°7'. Lungimea totală a niplului este similară variantei de realizare șapte.	9
Îmbinarea are interferență diametrală între cele două secțiuni filetate, cuplate, de pe prăjină și de pe niplu. Atunci când îmbinarea este strânsă cu mâna, jocul dintre suprafetele pragurilor de moment de torsiune de pe prăjină și de pe niplu sunt urmăroarele: $c1=0,4\ldots2,5$ mm pentru pragul principal de moment de torsiune și $c2=0,4\ldots2,8$ mm, pentru cel de-al doilea prag de moment de torsiune, unde $c2 > c1$ și $0 \text{ mm} < (c2-c1) < 0,3$ mm.	11
Al doilea prag de moment de torsiune este încărcat moderat și în mod clar transmite moment de torsiune. El servește, de asemenea, ca o etanșare eficientă și promovează o curgere liniștită a fluidului.	13
Astfel, variantele de realizare opt și nouă prezintă surprinzător o capacitate ridicată de transmitere a momentului de torsiune și o rezistență ridicată la supramoment de torsiune, precum și o bună rezistență la eroziune-corozione, atunci când un fluid curge prin interiorul țevii. Atunci când un fluid curge în interiorul țevii, o face liniștit și prezintă o turbulentă redusă. Rapoartele preferate pentru dimensiunile din cele două praguri de moment de torsiune din inventie sunt DHT1/DEN între 0,7 și 0,9; DIN1/DEN între 0,20 și 0,60; DIN1/DHT1 între 0,3 și 0,70; DEVU/DEV între 1,0 și 1,5; DIFR1/DHT1 între 1,0 și 1,1; DIFR1/DEVU între 0,75 și 0,95; DIVU/DIFR2 între 0,65 și 0,90; DIN2/DHT2 între 0,67 și 0,92; DEVU/DIVU între 0,40 și 0,70; DIFR2/DEVU între 0,55 și 0,85; și DIN1/DIN2 între 0,4 și 1,0.	15
O mai bună înțelegere a acestor obiective, caracteristici și avantaje ale prezentei inventii poate fi avută prin referirea la desenele și la descrierea însoțitoare, în care sunt ilustrate și descrise diferite variante de realizare ale inventiei. Variantele de realizare ale inventiei sunt considerate exemple de părți ale posibilităților de asamblare utile, deoarece diversele capete exterioare ilustrate se vor cupla cu succes cu capetele interioare ilustrate.	17
Se dau, în continuare, mai multe exemple de realizare ale inventiei, în legătură și cu fig. 1...23, care reprezintă :	19
- fig. 1 A și B reprezintă o configurație din stadiul cunoscut al tehnicii, a unei prăjini de pompare plină, convențională, aşa cum este stabilit în specificația Normei API 11 B;	21
- fig. 2A, B și C reprezintă configurații generale ale unui prim capăt al unei Prăjini de Pompare Tubulare, a unui Element de Îmbinare cu Niplu și a unui ansamblu din ambele elemente, conform unei prime variante de realizare a inventiei, cu un diametru exterior constant;	23
	25
	27
	29
	31
	33
	35
	37
	39
	41
	43
	45
	47

- 1 - fig. 3A reprezintă o configurație generală a ansamblului unei Prăjini de Pompare
Tubulare, având un prim și un al doilea capăt filetat interior și un Element de Îmbinare cu
Niplu, conform unei a doua variante de realizare a inventiei, cu un capăt îngroșat sau un
diametru exterior mărit;
- 5 - fig. 3B reprezintă o configurație generală a ansamblului unei Prăjini de Pompare
Tubulare, având un prim capăt filetat interior și un al doilea capăt cu un capăt filetat exterior,
conform unei a treia variante de realizare a inventiei, cu un diametru exterior constant;
- 9 - fig. 4A, B și C reprezintă o vedere în secțiune axială, o vedere a unui detaliu a
pragului și o vedere în secțiune transversală, de-a lungul liniei 4C-4C, a unui Element de
Îmbinare cu Niplu, având un prim și un al doilea capăt filetat exterior, conform unei a patra
variante de realizare a inventiei, tip Prăjină Tubulară 48x6, cu trecere exterioară la același
nivel;
- 13 - fig. 5A și B reprezintă o vedere în secțiune axială și o vedere în detaliu a pragului
unei Prăjini de Pompare Tubulare, având un prim capăt filetat interior, conform celei de-a
15 patra variante de realizare a inventiei;
- 17 - fig. 6A, B și C reprezintă o vedere în secțiune axială, o vedere în secțiune
transversală de-a lungul Liniei 6B-6B și o vedere a unui detaliu al pragului unui Element de
19 Îmbinare cu Niplu, având un prim și un al doilea capăt filetat exterior, conform unei a cincea
variante de realizare a inventiei, tip Prăjină Tubulară 42x5 cu îngroșare exterioară;
- 21 - fig. 7A și B reprezintă o vedere în secțiune axială și o vedere a unui detaliu al
pragului unei Prăjini de Pompare Tubulare, având un prim capăt filetat interior, conform celei
de-a cincea variante de realizare a inventiei;
- 23 - fig. 8A, B și C reprezintă o vedere în secțiune axială, o vedere a unui detaliu al
pragului și o vedere în secțiune transversală, de-a lungul Liniei 8B-8B, a unui Element de
25 Îmbinare cu Niplu, având un prim și un al doilea capăt filetat exterior, conform unei a șasea
variante de realizare a inventiei, tip Prăjină Tubulară 48.8x6, cu îngroșare exterioară;
- 27 - fig. 9A și B reprezintă o vedere în secțiune axială și o vedere a unui detaliu al
pragului unei Prăjini de Pompare Tubulare, având un prim capăt filetat interior, care este
29 îngroșat, conform celei de-a șasea variante de realizare a inventiei;
- 31 - fig. 10A reprezintă o vedere în secțiune axială și o vedere în detaliu a cotelor unui
prim capăt filetat interior pe o Prăjină de Pompare Tubulară, arătând configurația unui profil
33 de filet trapezoidal, asimetric, care este un filet SEC sau trapezoidal modificat, conform
variantelor de realizare preferate ale inventiei;
- 35 - fig. 10B reprezintă o vedere în secțiune axială și vedere în detaliu a cotelor unui
prim capăt filetat exterior pe un Element de Îmbinare cu Niplu, arătând configurația unui profil
37 de filet trapezoidal, asimetric, care este un filet SEC sau trapezoidal modificat, conform
variantelor de realizare preferate ale inventiei;
- 39 - fig. 11 ilustrează o vedere în secțiune axială a unei îmbinări cu mufă din corp
exterioară, cu Zona A indicând o zonă moartă;
- 41 - fig. 12 ilustrează coroziunea într-o zonă moartă;
- 43 - fig. 13 ilustrează o vedere în secțiune axială a unei îmbinări cu mufă din corp
exterioară, modificată, cu un niplu modificat, conform unei a șaptea variante de realizare a
inventiei;
- 45 - fig. 14 ilustrează o vedere în secțiune axială a unui niplu modificat, ca în fig. 13;
- 47 - fig. 15 ilustrează o vedere în secțiune axială a unei prăjini modificate, ca în fig. 13;
- 49 - fig. 16A și B ilustrează o vedere axială și în secțiune a unui capăt extrem al unei
prăjini modificate, conform unei Configurații 1;
- fig. 17A și B ilustrează o vedere axială și în secțiune a unui capăt extrem al unei
prăjini modificate, conform unei Configurații 2; și

RO 123504 B1

- fig. 18A și B ilustrează o vedere axială și în secțiune a unui capăt extrem al unei prăjini modificate, conform unei Configurații 3;	1
- fig. 19 ilustrează o vedere în secțiune axială a unei îmbinări cu niplu din corp exteroară, modificată, cu un niplu modificat și un capăt de prăjină cu trecere exteroară la același nivel, caracterizat de două praguri de moment de torsiune, conform unei a opta variante de realizare a inventiei, tip Prăjină Tubulară 48x6 ,cu trecere exteroară la același nivel cu două praguri de moment de torsiune;	3 5 7
- fig. 20A ilustrează o vedere în secțiune axială a niplului modificat din fig. 19 și 20 B, C și D reprezintă o primă vedere în detaliu a pragului de moment de torsiune de pe niplu, o a doua vedere în detaliu a pragului de moment de torsiune de pe niplu și o vedere în secțiune transversală, de-a lungul Liniei 20D-20D, a unui Element de Îmbinare cu Niplu, având un prim și un al doilea capăt filetat exterior, conform celei de-a opta variante de realizare a inventiei;	9 11 13
- fig. 21A ilustrează o vedere în secțiune axială a prăjinii cu trecere exteroară la același nivel modificată din fig. 19 și 21B și C reprezintă vederea în detaliu a unui al doilea prag de moment de torsiune de pe prăjină și vederea în detaliu a unui prim prag de moment de torsiune de pe prăjină, conform celei de-a opta variante de realizare a inventiei;	15 17
- fig. 22A ilustrează o vedere în secțiune axială a unui niplu modificat, conform unei a noua variante de realizare a inventiei, tip Prăjină Tubulară 48x6 cu capăt de prăjină îngroșat cu două praguri de moment de torsiune și fig. 22 B, C și D reprezintă vederea în detaliu al unui prim prag de moment de torsiune de pe niplu, vederea în detaliu a unui al doilea prag de moment de torsiune de pe niplu și o vedere în secțiune transversală, de-a lungul Liniei 22D-22D, a unui Element de Îmbinare cu Niplu, având un prim și un al doilea capăt filetat exterior, conform celei de-a noua variante de realizare a inventiei;	19 21 23
- fig. 23A ilustrează o vedere în secțiune axială a unui capăt îngroșat exterior, modificat de prăjină, conform celei de-a noua variante de realizare a inventiei, fig. 23 B și C reprezintă o vedere în detaliu a unui al doilea prag de moment de torsiune de pe prăjină și o vedere în detaliu al unui prim prag de moment de torsiune de pe prăjină conform celei de-a noua variante de realizare a inventiei.	25 27 29
Ansamblul de prăjini de pompăre, tubular, pentru transmiterea momentului de torsiune la o garnitură de antrenare a prăjinilor de pompăre a țieeiului, conform inventiei, este prezentat în cele ce urmează, și pentru claritate, se prezintă întâi de toate fig. 1A, care reprezintă o prăjină de pompăre plină, convențională, cu primul ei capăt filetat sau cap cu un filet exterior de tip cilindric, la care se poate vedea cu ușurință o mare discontinuitate între capul prăjinii și corpul prăjinii. Diametrele DC și DV, fig. 1 B, se observă pe desenul ansamblului acelei prăjini de pompăre pline, cu o îmbinare filetată convențională sau colier, conform Normei API 11 B.	31 33 35 37
Ansamblul de prăjini de pompăre, propus este prezentat în fig. 2A-C, care reprezintă configurații generale ale unui prim capăt al unei Prăjini de Pompăre Tubulare, un Element de Îmbinare cu Niplu și un ansamblu al ambelor elemente, conform unei prime variante de realizare a inventiei, cu un diametru exterior constant. Fig. 2A face referire la extremitatea cu filet interior a prăjinii tubulare, conform inventiei. Este, de asemenea, posibil să se observe suprafața filetată de formă tronconică din interiorul prăjinii care diminuează diametrul interior al acesteia. Fig. 2B face referiri la niplul sau îmbinarea, conform prezentei inventii. Se poate vedea, de asemenea, filetul exterior de formă tronconică și prezența a două praguri de moment de torsiune. Este, de asemenea, posibil să se observe variația diametrului găurii interioare a niplului cu forma conică marcată "Optiunea A", indicată de o linie întreruptă, care la rândul ei creează o suprafață a secțiunii transversale mai mare în vecinătatea pragului de moment de torsiune și îmbunătățește rezistența la oboseală.	39 41 43 45 47 49

În Fig. 2C se face referire la ansamblul a două prăjini de pompare tubulare și o îmbinare filetată. Se poate observa că cele două filete interioare din diametrul interior al unei prăjini 3.a și 3.b sunt îmbinate cu niște capete exterioare 1.a și 1.b, corespunzătoare și cum niște praguri de moment de torsiune 2.a și 2.b sunt parte a unui niplu 2. Îmbinarea dintre extremitățile corespunzătoare exterioare și interioare este realizată prin cuplarea diferențială a formei tronconice a unor filete 5.a și 5.b. Faptul că forma filetelui este tronconică, facilitează montarea inițială a fiecărei piese și asamblarea ambelor părți. Niște praguri 4.a și 4.b localizate la suprafețele capetelor libere extreme de pe primul și al doilea capăt al prăjinilor tubulare se cuplează, în poziția asamblată, contra unei perechi de praguri de moment de torsiune 2.a și 2.b corespunzătoare, formate pe niplul 2. Planurile de contact menționate formează un unghi al pragului de moment de torsiune, unghiul "Beta", vezi fig. 2A, în raport cu axa prăjinii, unghi care este între 75 și 90°, și cel mai preferabil 83°.

Fig. 2B arată în general referințe geometrice pentru un element de îmbinare ca un niplu separat și definește specific diametrul exterior **DEN**, diametrul interior **DIN** și diametrul de pornire al umărului de moment de torsiune **DHT**. Elementul de îmbinare pentru inventie este caracterizat de rapoartele diametrelor conform tabelului 3.

Rapoartele diametrelor	Domeniu	
	Minimum	Maximum
DHT/DEN	0,60	0,98
DIN/DEN	0,15	0,90
DIN/DHT	0,25	0,92

Fig. 2B ilustrează, de asemenea, prin linia întreruptă, o opțiune cu gaură conică, Opțiunea A, pentru configurația găurii interne a niplului, care este preferată. Fig. 2A arată prăjina tubulară în zona de îmbinare cu un diametru exterior **DEVU** și un diametru interior al prăjinii la suprafețele extreme ale primului și celui de-al doilea capăt corespunzând capătului filetelui **DIFR**. Aceasta arată, de asemenea, diametrul exterior al prăjinii tubulare **DEV**, marcat ca **DEVU=DEV**, deoarece nu există un capăt îngroșat care să acționeze ca îmbinare. Raportul dintre diametrul exterior maxim **DEVU**, fie al unui element conector separat, fie capătul de tip îngroșat al îmbinării cu element conector integral, și diametrul exterior al prăjinii **DEV**, aşa cum este ilustrat în fig. 3A, 7A și 9A, este menținut în domeniul următor:

$$1 \leq \text{DEVU/DEV} \leq 1,5$$

Astfel, pentru un diametru maxim fixat, momentul polar mediu al garniturii de prăjină tubulară și îmbinare este mai mare decât cel pentru o prăjină de pompare plină cu un diametru egal al secțiunii transversale. Momentul de rotație sau cuplul transmis este prin urmare mai mare la o coloană de prăjini tubulare decât la o coloană de prăjini pline. Aceasta este, de asemenea, un factor determinant la rezistența la fenomenul de "rotație inversă" sau contra-rotație garniturii de prăjini. În plus, raportul dintre diametrul de pornire al pragului de moment de torsiune de pe elementul de îmbinare **DHT** și diametrul intern al prăjinii tubulare la capătul liber filetat **DIFR**, este menținut, după cum urmează:

$$1 \leq \text{DIFR/DHT} \leq 1,1$$

Fig. 3A face referire la ansamblul în care raportul diametrului maxim al îmbinării **DEVU** față de diametrul corpului prăjinii **DEV** este limitat $1 < \text{DEVU/DEV} < 1,5$.

RO 123504 B1

Fig. 3B este o posibilă configurație a inventiei în care filetul interior este prelucrat pe un prim capăt îngroșat al prăjinii, în timp ce capătul opus sau al doilea capăt este prelucrat cu un filet exterior corespunzător, cele două filete fiind complementare, dar diferențiale în conicitatea diametrală, unul față de celălalt. La această configurație se va face referire ca o prăjină îngroșată sau ca o versiune de îmbinare integrală.

Fig. 4...10 se referă la variante preferate de realizare, unde o Prăjină de Pompă Tubulară cuprinde cel puțin un prim capăt al unui element tubular filetat cu un filet interior conic, care este configurat ca un filet SEC sau trapezoidal modificat și care are ieșirea în interiorul elementului tubular, în combinație cu un unghi al pragului de moment de torsiune (Beta) între 75 și 90°. Diametrul extern al elementului tubular de departe de capetele fiind fie 42, fie 48,8 mm, iar diametrul exterior al elementului tubular în capătul îngroșat, dacă este prezent, fiind fie 50, fie 60,6 mm.

Fig. 4A, B și C reprezintă o vedere în secțiune axială, o vedere în detaliu a pragului și o vedere în secțiune transversală de-a lungul liniei 4C-4C a unui Element de Îmbinare cu Niplu 402, cu o teșitură 406, având un prim și un al doilea capăt filetat exterior, 401 și 401.b, conform unei a patra variante de realizare a inventiei, tip Prăjină Tubulară 48x6 cu trecere exterioară la același nivel. În fig. 4A, valorile sunt un filet SEC modificat 405.b, 8 filete/tol; DEN=48,8 mm; DIN= 20 mm cu o lărgire la 26 mm pe o lungime de 44 mm către capătul extrem; DHT= 39 mm; Beta= 83°; lungimea totală= 158 mm; lungimea filetelui= 46 mm și lungimea secțiunii centrale= 50 mm. Detaliul pragului 402.a din fig. 4B începe la 4,61 mm după filet, are o rază interioară de 1,4 mm și o rază exterioară a pragului de 0,5 mm.

Fig. 5A și B reprezintă o vedere în secțiune axială și o vedere în detaliu a pragului unei Prăjini de Pompă Tubulară 403, având un prim capăt filetat interior 403.a, conform celei de-a patra variante de realizare a inventiei. În fig. 5A, valorile sunt un filet SEC modificat 405.a, 8 filete/tol; DEV= 48,8 mm; DIFR= 41,4 mm; DIV= 37 mm; Beta= 83°. Detaliul pragului 404.a din fig. 5B are o tranziție de 30° la filet și se extinde 4,5 mm; are o rază interioară de 0,8 mm și o rază exterioară a pragului de 0,5 mm.

Fig. 6A, B și C reprezintă o vedere în secțiune axială, o vedere în secțiune transversală de-a lungul liniei 6B-6B și o vedere în detaliu a pragului unui Element de Îmbinare cu Niplu 502 cu o teșitură 506 și având un prim și un al doilea capăt filetat exterior, 501.a și 501.b, conform unei a cincea variante de realizare a inventiei, tip Prăjină Tubulară 42x5 cu îngroșare exterioară. În fig. 6A, valorile sunt un filet SEC modificat 505.b, 8 filete/tol; DEN= 50 mm; DIN= 17 mm cu o lărgire la 25,3 mm pe o lungime de 44 mm către capătul extrem;

DHT= 38,6 mm; Beta= 83°; lungimea totală= 158 mm; lungimea filetelui= 46 mm și o lungime a secțiunii centrale= 50 mm. Detaliul pragului 502.a din fig. 6C începe la 4,61 mm după filet, are o rază interioară de 1,4 mm și o rază exterioară a pragului de 0,5 mm.

Fig. 7 A și B reprezintă o vedere în secțiune axială și o vedere în detaliu a pragului unei Prăjini de Pompă Tubulară 503, având un prim capăt filetat interior 503.a, conform celei de-a cincea variante de realizare a inventiei. În fig. 7A, valorile sunt un filet SEC modificat 505.a, 8 filete/tol; DEVU în domeniul de la 50 mm la DEV= 42 mm; DIFR= 41 mm; DIV= 36,4 mm cu o tranziție de 15 până la 30 mm, începând la 55 mm de capătul liber și înapoi la 32 mm pe o lungime maximă de 150 mm; Beta= 83°. Detaliul pragului 504.a din fig. 7B are o tranziție de 30° la filet și se extinde 4,5 mm; are o rază interioară de 0,8 mm și o rază exterioară a pragului de 0,5 mm.

Fig. 8A, B și C reprezintă o vedere în secțiune axială, o vedere în detaliu a pragului și o vedere în secțiune transversală, de-a lungul liniei 8B-8B, a unui Element de Îmbinare cu Niplu 602, cu teșitura 606 și având un prim și un al doilea capăt filetat exterior, 601.a și 601.b, conform unei a sasea variante de realizare a inventiei, tip Prăjină Tubulară 48, 8x6,

1
3
5
7
9
11
13
15
17
19
21
23
25
27
29
31
33
35
37
39
41
43
45
47
49

1 cu îngroșare exterioară. În fig. 8A, valorile sunt un filet SEC modificat **605.b**, 8 filete/tol; 3 **DEN**= 60,6 mm; **DIN**= 20 mm cu o lărgire la 33,6 mm pe o lungime de 44 mm către capătul 5 extrem; **DHT**= 47 mm; **Beta**= 83°; lungimea totală= 158 mm; lungimea filetelui= 46 mm și lungimea secțiunii centrale= 50 mm. Detaliul pragului **602.a** din fig. 8C începe la 4,61 mm după filet, are o rază interioară de 1,4 mm și o rază exterioară a pragului de 0,5 mm.

7 Fig. 9A și B reprezintă o vedere în secțiune axială și o vedere în detaliu a pragului unei Präjini de Pompare Tubulare **603**, având un prim capăt filetat interior **603.a**, conform 9 celei de-a șasea variante de realizare a invenției. În fig. 9A, valorile sunt un filet SEC 11 modificat **605.a**, 8 filete/tol; **DEVU** în domeniul de la 60,6 până la **DEV**= 48,8 mm; **DIFR**= 49,4 mm; **DIV**= 44,6 mm cu o tranzitie de 15 la 30° mm, începând la 55 mm de la 13 capătul liber și înapoi la 35,4 mm pe o lungime maximă de 150 mm; **Beta**= 83°. Detaliul pragului **604.a** din fig. 9 B are o tranzitie de 30° la capătul filetelui și se extinde 4,5 mm; are o rază interioară de 0,8 mm și o rază exterioară a pragului de 0,5 mm.

15 Fig. 10A reprezintă o vedere în secțiune axială și o vedere detaliată a dimensiunilor unui prim capăt filetat interior pe o Präjină de Pompare Tubulară, arătând configurația unui 17 profil de filet trapezoidal, asimetric, care este un filet SEC sau trapezoidal modificat, conform 19 variantei preferate de realizare a unui prim capăt al prăjinii. Forma filetelui interior al fiecărei 21 Präjini de Pompare Tubulare este trapezoidală și asimetrică, și este incompletă. Pasul 23 filetelui este de 8 filete/tol, înălțimea filetelui este 1,016+0/-0,051 mm. Conicitatea diametrală 25 din secțiunea filetată este 0,1 mm/mm. Lungimea filetelor pe cel puțin primul capăt al 27 elementului tubular este de 44 mm, cu o parte din filete incompletă datorită ieșirii filetelui în interiorul elementului tubular. Unghiul conicității filetelui este 2°51'45"; suprafața interioară a dintelui este de 1,46 mm și golul dintre dinti este 1,715 mm; flancul frontal are o conicitate de 4° sau unghiul flancului de încărcare și o rază interioară de 0,152 mm, în timp ce flancul de posterior are o conicitate de 8° și o rază interioară mai mare, de 0,558 mm. La capătul 29 secțiunii filetate, o scurtă secțiune cilindrică în interiorul zonei filetate face o tranzitie a zonei 31 filetate către gaura elementului tubular gol.

33 Fig. 10B reprezintă o vedere în secțiune axială și vederea în detaliu a dimensiunilor unui prim capăt filetat exterior pe un Element de Cuplare cu Niplu, arătând configurația unui 35 profil de filet trapezoidal, asimetric, care este un filet SEC sau trapezoidal modificat, conform primei sau celei de-a doua variante preferate de realizare a niplului. Diametrul extern al 37 secțiunii centrale a fiecarui Element de Îmbinare cu Niplu este 50 sau 60,6 mm și secțiunea centrală poate prezenta o pereche de suprafete plane, prelucrate, opuse diametral, care se 39 cuplează cu o cheie în timpul înșurubării îmbinării. Filetul exterior este un filet trapezoidal 41 modificat și este complet pe ambele capete ale niplului. Pasul secțiunii filetate este 8 43 filete/tol, înălțimea filetelui se găsește între 1,016+0,051/-0 mm. Conicitatea diametrală a 45 filetelui din zona filetată este 0,0976 mm/mm. Forma filetelui este trapezoidală și asimetrică. Lungimea filetelor la fiecare extremitate a niplului este 46 mm. Toate filetele de pe niplu sunt 47 complete. Unghiul suprafetei conice din pragul de moment de torsion (Beta) este 83°. Raza la vârfurile pragului de moment de torsion este 1,4 mm pentru rază interioară și 0,5 mm 49 pentru rază exterioară. Sunt preferate găurile conice sub fiecare secțiune filetată a niplului, care sunt legate de o gaură cilindrică. Unghiul conicității filetelui este 2°47'46"; suprafața interioară a dintelui este 1,587 mm și golul dintre dinti este 1,588 mm; flancul frontal are o conicitate de 4° sau unghiul flancului de încărcare și o rază exterioară de 0,152 mm, în timp ce flancul posterior are o conicitate de 8° și o rază exterioară mai mare, de 0,558 mm.

51 Fig. 11 și 12 ilustrează problema coroziunii atunci când un fluid curge prin interiorul 53 prăjinii cu o viteza rezonabilă. Uzura prematură a niplului și a prăjinii are loc în zona unde 55 acestea se îmbină (se suprapun). Acest fenomen poate fi atribuit existenței unei "zone moarte", unde fluidele rămân aproape nemîșcate (viteză redusă). Vezi Zona A, în fig. 11 și 12.

RO 123504 B1

Pentru a rezolva problema menționată mai sus, niplul și prăjina de tipul arătat în fig. 2A și B au fost modificate. Fig. 11 ilustrează o asemenea prăjină tubulară 48x6, cu trecere exterioară la același nivel, cu o zonă moartă în Zona A și coroziunea rezultată ilustrată într-o vedere în secțiune fotografică, în fig. 12. La capetele niplului, s-a introdus o mică etanșare, cu modificarea corespunzătoare a unghiului găurii conice interne (Zona B, C și D în fig. 13...15). Cu această modificare, "zona moartă" nu mai există și fluidul curge liniștit și cu turbulentă redusă. Este important de remarcat că aceste modificări sunt mici, astfel încât ele nu modifică semnificativ distribuția tensiunilor în îmbinare, nici performanța produsului. De remarcat că modificările ilustrate au fost făcute la niplu și prăjină (fig. 13...15). Fig. 13 reprezintă o ușoară variație a fig. 11. S-a introdus o modificare la niplul existent, în termenii unei mici zone de etanșare, pentru a împiedica fluidul (atunci când curge prin interiorul țevii) să rămână în "zona moartă", promovând eroziunea-coroziunea.	1 3 5 7 9 11 13 15 17 19 21 23 25 27 29 31 33 35 37 39 41 43 45 47
Distribuțiile tensiunilor pe niplu și prăjină sunt similare cu HR 48x6 cu trecere exterioară la același nivel, ilustrată de fig. 2A-C și fig. 11.	13
Pragul de moment de torsiune 701b , fig. 13...14 este similar celui din fig. 11.	15
Diametrul nominal și conicitatea diametrală în secțiunea filetată 702b , fig. 13...14 sunt de asemenea similare cu fig. 11.	17
Filetele niplului sunt complete și lungimea filetelor 703b , fig. 13...14, este mai mică și diferită de cea arătată în fig. 11, filetele 703a , fig. 11.	19
Există o zonă cilindrică, externă, între capătul niplului și secțiunea filetată 704b , fig. 13...14. Lungimea este între 10 până la 27 mm și diametrul exterior este 36,8 mm. Aceasta este diferit de fig. 11.	21
Capătul niplului lucrează ca o etanșare a îmbinării 705b , fig. 13...14. Grosimea capătului niplului este 2 mm, care este diferită de fig. 11. (705a , fig. 11).	23
Gaura niplului este conică la extremități. Unghiul preferat este $8^{\circ}16'$ (706b , fig. 14) și este diferit de fig. 11. ($3^{\circ}46'$; vezi 706a , fig. 11)	25
Lungimea totală a niplului (707b , fig. 14) este similară cu fig. 11. (707a , fig. 11)	27
Prăjina are, de asemenea, un prag de moment de torsiune 708b , fig. 13 și 15. Dimensiunile acestui prag sunt similare pragului arătat în fig. 11. O parte dintre filetele de pe țeava sau capătul prăjinii sunt incomplete, datorită ieșirii filetelui 709b în interiorul țevii, fig. 15, care este similar cu fig. 11. Diametrul nominal și conicitatea diametrală în secțiunea filetată 710b , fig. 13 și 15, sunt similare cu fig. 11.	29 31
Există o etanșare în interiorul prăjinii, aproape de capătul filetelor 711b incomplete de pe prăjină, fig. 13 și 15. Deși această etanșare poate părea ca fiind un al doilea prag de moment de torsiune, nu funcționează ca acesta și nu a fost proiectată pentru a susține încărcare. Grosimea etanșării este între 0 până la 1,7 mm și depinde de toleranțele de fabricație ale țevii, și este diferită de versiunea HR 48x6 cu trecere exterioară la același nivel din fig. 11. Unghiul etanșării în interiorul prăjinii este de 90° și lungimea acesteia de la capătul țevii este 55 mm (711b și 712b , fig. 13 și 15), care este diferită de fig. 11. După "înșurubare" (momentul de torsiune de serviciu aplicat), separarea dintre niplu și prăjină la Zona B este în domeniul de la aproximativ 0 până la 0,6 mm, (713b , fig. 13). Zona B de etanșare este ușor încărcată și nu transmite moment de torsiune. Aceasta este utilizată doar ca o etanșare și pentru a promova o curgere liniștită a fluidului.	33 35 37 39 41 43
Fig. 16...18 ilustrează o altă variantă de realizare, unde obiectivul este să se crească substanțial debitul de fluid extras, printr-o modificare suplimentară către capetele extreme ale unei garnituri de prăjini de pompare tubulară, de tipul ilustrat la fig. 2A-C, fig. 11 sau fig. 13.	45 47

1 O serie de găuri au fost executate în corpul prăjinii, la cele două extremități (nivelul
 3 solului și nivelul fundului puțului) ale garniturii. În acest fel, fluidul este lăsat să curgă de
 5 asemenea (uzual, o face prin regiunea inelară dintre suprafața exterioară a prăjinii și
 7 suprafața interioară a "tubingului") prin interiorul unei Prăjini Tubulare. Modelul găurilor poate
 9 fi de preferință o configurație 1, cu 2 găuri pe secțiune transversală, alternând la 90° , cu o
 distanță longitudinală dată între secțiuni (fig. 16A, B); o Configurație 2, cu găuri care urmează
 o cale elicoidală cu o "separație" în direcție longitudinală și unghi dintre găuri de secțiuni
 diferite (fig. 17A, B); sau o Configurație 3 cu trei găuri pe secțiune transversală, cu o distanță
 longitudinală dată (fig. 18A, B).

11 Fig. 16 A, B ilustrează un capăt extrem al prăjinii tubulare **803** cu 2 găuri, **804**, pe
 13 secțiune transversală, la distanță de 180° , distribuite într-un mod alternativ, fiecare set opus
 15 la 90° setului adiacent de găuri cu o anumită distanță p între secțiuni (fig. 16A și B). Diametrul preferat al găurii **D_h**, este între 5 până la 7 mm. Distanța longitudinală preferată
 17 dintre secțiuni este între 50 până la 100 mm. Lungimea totală **L** (longitudinală), preferată, a
 zonei, la fiecare capăt extrem care are asemenea găuri, este de 3000 până la 4000 mm, zona cuprinzând între 62 până la 162 găuri.

19 Fig. 17 A, B ilustrează un capăt extrem al prăjinii tubulare **805** cu 1 gaură **806**, pe
 21 secțiune transversală. Găurile urmează o cale elicoidală, cu o separare longitudinală
 23 preferată sau o distanță p (fig. 17B) și un unghi de rotație de la o secțiune la următoarea de
 120° (fig. 17A și B). Diametrul preferat al găurii **D_h** este între 5 și 7 mm. Distanța
 longitudinală preferată dintre secțiuni este între 25 până la 50 mm. Lungimea **L** totală
 (longitudinală), preferată, a zonei, la fiecare capăt extrem care are asemenea găuri, este de
 3000 până la 4000 mm, zona cuprinzând între 61 până la 161 găuri.

25 Fig. 18 A, B ilustrează un capăt extrem al prăjinii tubulare **807** cu 3 găuri, **808**, pe
 27 secțiune transversală, fiecare distanță la aproximativ 120° în jurul circumferinței, cu o
 29 separație longitudinală preferată sau o distanță p (fig. 18B). Diametrul preferat al găurii **D_h**
 este între 5 și 7 mm. Distanța p longitudinală preferată dintre secțiuni este între 50 până la
 100 mm. Lungimea totală **L** (longitudinală), preferată, a zonei, la fiecare capăt extrem care
 are asemenea găuri, este de 3000 până la 4000 mm, zona cuprinzând între 93 până la 243
 găuri.

31 Prin urmare, Niplul Modificat (cu etanșare) din fig. 13 produce o curgere liniștită a
 33 fluidului și turbulentă redusă, atunci când un fluid curge prin interiorul țevii, în schimb
 producând o bună rezistență la eroziune-corozione la Zona B, atunci când fluidul curge prin
 35 interiorul țevii. Niplul din fig. 14 este, de asemenea, interschimbabil cu un niplu ca în fig. 11.

37 Astfel, pentru toate variantele preferate de realizare, există o conicitate diametrală
 sau diferențială. De exemplu, conicitatea primului capăt al prăjinii este 0,1 țoli/țol, în timp ce
 39 conicitatea corespunzătoare a ambelor capete ale niplului este 0,0976 țoli/țol. Pentru toate
 variantele preferate de realizare, unghiul suprafeței conice din pragul de moment de torsiune
 (Beta) este de preferință 83° . Razele la vârfurile pragului de moment de torsiune sunt 0,8 mm
 pentru raza interioară și 0,5 mm pentru raza exterioară.

41 De asemenea, pentru toate variantele preferate de realizare, Elementul de Îmbinare
 are o secțiune centrală care este cilindrică exterior. Apropiat de diametrul exterior al acestei
 43 secțiuni centrale, sunt localizate praguri de moment de torsiune, pentru a se cupla cu pragul
 de moment de torsiune de pe un prim capăt al unei Prăjini de Pompăre Tubulare. Ambele
 45 extremități ale unui niplu sunt conice și filetate exterior, și o gaură interioară, conică,
 apropiată de lungimea fiecărei extremități filetate creează o combinație avantajoasă a
 47 structurii, pentru a asigura o secțiune transversală crescătoare a niplului, de la fiecare capăt
 liber al niplului către secțiunea centrală, și locațiile pragului de moment de torsiune.

RO 123504 B1

Dimensiunile principale în raport cu invenția ilustrată de variantele de realizare opt și nouă caracterizate de două seturi de praguri de moment de torsiune au acele dimensiuni și referințe ilustrate în fig. 19...23. Acele dimensiuni, precum și dimensiunile pentru o mărime intermedie care nu este ilustrată [Prăjină Tubulară 42x5 cu îngroșare exterioară cu DEVU=50, 0 mm], sunt rezumate în următorul tabel.

DEVU& DEN	DIN1 (mm)	DHT1 (mm)	DIN2 (mm)	DHT2 (mm)	$\alpha(^{\circ})$ (mm)	DEV (mm)	DIV (mm)	DIFR1 (mm)	DIVU (mm)	DIFR2 (mm)
48,8	20,0	39,0	26,0	34,3	3°54'	48,8	35,4	41,7	26,0	35,2
50,0	17,0	38,6	26,0	33,7	5°50'	42,2	32,2	41,0	26,0	34,6
60,6	20,0	47,0	34,0	41,9	9°7'	48,8	35,4	49,4	34,0	42,8

Fig. 19...23, inclusiv, se referă la două variante de realizare a pragului de moment de torsiune, unde o Prăjină de Pompare Tubulară cuprinde cel puțin un prim capăt al unui element tubular filetat cu un filet interior conic, care este configurat ca un filet SEC sau trapezoidal modificat și care are ieșirea în interiorul elementului tubular. O zonă cilindrică 904b de pe niplu este între capăt și filete și este de aproximativ 9,5 mm lungime și 34,3 mm în diametru, aşa cum este arătat în fig. 19, în combinație cu o primă pereche de praguri de moment de torsiune **901b**, **908b**, și o a doua pereche de praguri de moment de torsiune **905b**, **913b**, în care fiecare set de praguri este înclinat la aproximativ 7° față de o linie perpendiculară pe linia centrală a conectorului, sau un unghi (Beta) de aproximativ 83°. Diametrul exterior sau **DEVU** și **DEN** ale elementului tubular departe de capetele din variantele de realizare opt și nouă este 48,8 mm și diametrul exterior al elementului tubular în capătul îngroșat, dacă este prezent, este de aproximativ 60,6 mm. Materialul utilizat trebuie să aibă un efort de curgere > 960 MPa (139,2 ksi) și o tensiune limită la întindere > 1015 MPa (147,2 ksi). Îmbinarea are o interferență diametrală între cele două secțiuni filetate cuplate de pe prăjină și niplu. Atunci când sunt strânse manual, jocul dintre primele praguri de moment de torsiune de pe prăjină și niplu sunt în domeniul $c_1 = 0,4 \dots 2,5$ mm și jocul dintre pragurile secundare de moment de torsiune de pe prăjină și niplu este în domeniul, $c_1 = 0,4 \dots 2,8$ mm, în care $c_2 \geq c_1$ și $0 \text{ mm} \leq (c_2 - c_1) \leq 0,3$ mm. Al doilea prag de moment de torsiune din variantele de realizare opt și nouă este prin urmare încărcat moderat și transmite momentul de torsiune, în timp ce servește de asemenea drept etanșare pentru promovarea unei curgeri liniștite, ca în varianta de realizare şapte (fig. 13).

Fig. 20A, B,C și D reprezintă o vedere în secțiune axială, o vedere în detaliu a unui prim prag, o vedere în detaliu a unui al doilea prag și o vedere în secțiune transversală, de-a lungul Liniei 20D-20D, a unui Element de Îmbinare cu Niplu **902**, cu o teșitură **906**, având un prim și un al doilea capăt filetat exterior, conform unei a opta variante de realizare a invenției, tip Prăjină Tubulară 48x6, cu trecere exterioară la același nivel cu două praguri de moment de torsiune, în fig. 20A, valorile unui filet SEC modificat **902.b**, sunt 8 filete/țol; **DEN**= 48,8 mm; **DIN1**= 20 mm cu o largire la 26 mm pe o lungime de 44 mm către capătul extrem; **DIN2**= 26 mm; **DHT1**= 39 mm; **DHT2**= 34,3 mm; lungimea totală a niplului= 159 mm; lungimea filetelui= 41 mm; și o lungime între praguri de 54,59 mm. Pentru varianta de realizare opt, rapoartele dimensiunilor sunt **DHT1/DEN**= 0,80; **DIN1/DEN**= 0,41; **DIN1/DHT1**= 0,513; **DEVU/DEV**= 1,0; **DIFR1/DHT1**= 1,062; **DIFR1/DEVU**= 0,85; **DIVU/DIFR2**= 0,74; **DIN2/DHT2**= 0,76; **DEVU/DIVU**= 0,53; **DIFR2/DEVU**= 0,72; și **DIN1/DIN2** = 0,77.

RO 123504 B1

1 Primul prag de pe niplu **901b**, detaliat suplimentar în fig. 20B, începe la 4,06 mm,
2 după un filet exterior cu o suprafață frontală înclinată la 30°, are un Beta= 83°, are o rază
3 interioară de 1,4 mm și o rază exterioară a pragului de 0,5 mm. Al doilea prag de pe niplu
5 **905b**, detaliat în fig. 20C, începe la 9,5 mm înaintea unui prim filet exterior, are un Beta= 83°,
6 o rază interioară de 0,5 mm la un punct de diametru de 26 mm și o rază exterioară a pragului
7 de 0,8 mm la un punct de diametru de 34,3 mm. Suprafața are o valoare maximă RA de
125 μ m, și $\alpha = 3^{\circ}54'$.

9 Fig. 21A, B și C reprezintă o vedere în secțiune axială și o vedere a unui detaliu a
10 pragului unei Präjini de Pompare Tubulare cu trecere exterioară la același nivel **903**, cu un
11 prim capăt filetat interior **903b**, o vedere în detaliu a unui al doilea prag **913b** pe prăjină, și
12 o vedere în detaliu a unui prim prag pe prăjină **908b**, conform variantei de realizare opt a
13 inventiei, **DEVU**= 48,8 mm; **DIFR1**= 41,7 mm; **DIFR2**= 35,2 mm; **DIVU**= 26 mm; **DIV**=
35,4 mm; și gaura interioară a prăjinii= 23 mm.

14 Al doilea prag de moment de torsiune **913b** de pe prăjină, detaliat în fig. 21B, începe
15 la 6 mm după un filet interior, are un Beta= 83°, are o rază interioară de 0,5 mm la punctul
16 de diametru **DIVU** de 26 mm și o rază exterioară a pragului de 0,9 mm, la un punct de
17 diametru de 35,2 mm. Suprafața are o valoare maximă RA de 125 μ m. Primul prag **908b** de
18 pe prăjină, detaliat în fig. 21C, începe la 4,5 mm, înaintea unei suprafețe frontale a unui filet
19 interior cu o suprafață înclinată la 30°, are un Beta= 83°, o rază exterioară de 0,5 mm, la un
20 punct de diametru de 48,8 mm și o rază interioară a pragului de 0,8 mm, la un punct de
21 diametru de 41,7 mm. Distanța dintre praguri este 54,55 mm. conform celei de-a opta
22 variante de realizare a inventiei.

23 Fig. 22A, B, C și D reprezintă o vedere în secțiune axială, o vedere în detaliu a unui
24 prim prag, o vedere în detaliu a unui al doilea prag și o vedere în secțiune transversală, de-a
25 lungul Liniei 22D-22D, a unui Element de Îmbinare cu Niplu **1002**, cu o teșitură **1006**, având
26 un prim și un al doilea capăt filetat exterior, conform unei a noua variante de realizare a
27 inventiei, tip Präjină Tubulară 48x6, cu capăt îngroșat al prăjinii cu două praguri de moment
28 de torsiune, având o dimensiune exterioară sau **DEVU** și **DEN**= 60,6 mm. Pentru cea de-a
29 nouă variantă de realizare, rapoartele dimensiunilor sunt **DHT1/DEN**= 0,776; **DIN1/DEN**=
30 0,33; **DIN1/DHT1**= 0,425; **DEVU/DEV**= 1,24; **DIFR1/DHT1**= 1,051; **DIFR1/DEVU**= 0,82;
31 **DIVU/DIFR2**= 0,79; **DIN2/DHT2** = 0,81; **DEVU DIVU**= 0,56; **DIFR2/DEVU**= 0,71 și
32 **DIN1/DIN2** = 0,59.

33 În fig. 22A, valorile unui filet SEC modificat **1002b** sunt 8 filete/țol; **DEN**= 60,6 mm;
34 **DIN 1**= 20 mm cu o lărgire la 34 mm pe o lungime de 44 mm către capătul extrem; **DIN**
35 **1**= 20 mm; **DHT 1**= 47 mm; **DIN2**= 34 mm; **DHT2**= 41,9 mm; **oc**= $9^{\circ}7'$; lungimea filetelui=
36 41 mm și o lungime totală= 159 mm; și o lungime între praguri de 54,56 mm.

37 Primul prag de pe niplu **1001b**, detaliat în fig. 22B, are un Beta= 83°, începe la
38 4,06 mm, după un filet exterior cu o suprafață frontală înclinată la 30°, are o rază interioară
39 de 1,4 mm și o rază a exterioară a pragului de 0,5 mm. Al doilea prag de pe niplu **1005b**,
40 detaliat în fig. 22C, începe la 9,5 mm înainte de un prim filet exterior, are un Beta= 83°;
41 $\alpha = 9^{\circ}7'$; o rază interioară de 0,5 mm la un punct de diametru de 34 mm și o rază exterioară
42 a pragului de 0,8 mm, la un punct de diametru de 41,9 mm. Suprafața are o valoare maximă
43 RA de 125 μ m.

44 Fig. 23A, B și C reprezintă o vedere în secțiune axială și o vedere în detaliu a
45 pragului unui capăt îngroșat al Präjinii de Pompare Tubulare **1003**, având un prim capăt
46 filetat interior **1003b**, o vedere în detaliu a unui al doilea prag de pe prăjină **1013b**, și o
47 vedere în detaliu a unui prim prag de pe prăjină **1008b**, conform celei de-a nouă variante de
48 realizare a inventiei, **DEVU**= 60,6 mm; **DIV**= 35,4 mm; **DIVU**= 34 mm; **DIFR1**= 49,4 mm;
49 **DIFR2**= 42,8 mm.

RO 123504 B1

Al doilea prag de pe prăjină **1013b**, detaliat în fig. 23B, începe la 6,2 mm, după un filet interior, are un Beta= 83°, are o rază interioară de 0,5 mm, la un punct de diametru **DIVU** de 34 mm, și o rază exterioară a pragului de 0,9 mm, la un punct de diametru de 42,8 mm.

Detaliul primului prag de pe prăjină **1008b** din fig. 23C începe la 4,5 mm, înaintea unei prime suprafețe frontale a filetului interior cu o suprafață înclinată la 30°, are un Beta= 83°, o rază exterioară de 0,5 mm, la un punct de diametru **DEVU** de 60,6 mm, și o rază interioară a pragului de 0,8 mm, la un punct de diametru de 49,4 mm. Distanța dintre praguri este 54,8 mm, conform celei de a noua variante de realizare a inventiei. Suprafața are o valoare maximă RA de 125 μ m.

Deși s-au arătat și s-au descris variantele preferate de realizare ale inventiei noastre, inventia trebuie limitată doar de întinderea protecției revendicărilor anexate.

1

3

5

7

9

11

3 1. Ansamblu de prăjini de pompare, tubulare, pentru transmiterea momentului de
 5 torsiuṇe la o garnitură de antrenare a prăjinilor de pompare a țieui, ce cuprinde o
 7 multitudine de prăjini de pompare tubulare și elemente de imbinare pentru o garnitură, legate
 9 împreună și cu o unitate de pompare localizată la suprafața unei sonde de ție și cu o pompă
 11 rotativă localizată în adâncime la talpa sondei într-o sondă de ție, în care fiecare prăjină de
 13 pompare tubulară are cel puțin un prim capăt cuprinzând o suprafață internă filetată interior,
 15 care se cuplează cu o suprafață externă filetată exterior pe un element de imbinare, în care
 17 filetele menționate sunt tronconice, asimetrice, dar diferențiale, în conicitatea diametrală,
 19 unul față de celălalt; primele capete libere ale fiecărei prăjini de pompare cuprinzând o
 21 pereche de praguri de moment de torsiuṇe inelar de pe un element de imbinare, **caracterizat prin aceea că**, pentru un
 23 diametru exterior al elementului de imbinare (DEN), un diametru interior (DIN1) al
 25 elementului de imbinare și un diametru al unui prim prag de moment de torsiuṇe de pe
 27 elementul de imbinare (DHT1), sunt menținute următoarele rapoarte:

Rapoartele diametrelor	Domeniul	
	Minimum	Maximum
DHT1/DEN	0,7	0,9
DIN/DEN	0,2	0,6
DIN1/DHT1	0,3	0,7

23 2. Ansamblu de prăjini de pompare, tubulare, pentru transmiterea momentului de
 25 torsiuṇe, ce cuprinde o multitudine de prăjini de pompare, tubulare și elemente de imbinare
 27 pentru o garnitură, legate împreună și cu o unitate de pompare localizată la suprafața unei
 29 sonde de ție și cu o pompă rotativă localizată în adâncime în sonda de ție, în care cel puțin
 31 o prăjină de pompare tubulară are un prim capăt cuprinzând o suprafață internă filetată
 33 interior, care se cuplează cu o suprafață externă filetată exterior pe cel puțin un element de
 35 imbinare, în care filetele menționate sunt tronconice și asimetrice, dar diferențiale, în
 37 conicitatea diametrală unul față de celălalt, primul capăt al cel puțin unei prăjini de pompare
 39 tubulare menționate cuprinzând un prag inelar de moment de torsiuṇe care se cuplează cu
 41 un prag inelar de moment de torsiuṇe pe cel puțin un element de imbinare menționat,
 43 **caracterizat prin aceea că**, pentru un diametru exterior al elementului de imbinare (DEN),
 45 diametrele găurilor interioare (DIN1, DIN2) ale elementului de imbinare, un diametru al unui
 47 prim prag de moment de torsiuṇe de pe elementul de imbinare (DHT1) și un diametru al unui
 49 al doilea prag de moment de torsiuṇe pe capătul liber al elementului de imbinare (DHT2),
 51 sunt menținute rapoartele după cum urmează:

Rapoartele diametrelor	Domeniul	
	Minimum	Maximum
DHT1/DEN	0,7	0,9
DIN1/DEN	0,20	0,60
DIN1/DHT1	0,30	0,70
DIN2/DHT2	0,67	0,92

RO 123504 B1

în care cel puțin un element de îmbinare, menționat, este un niplu separat având suprafața filetată exterior pe cel puțin un capăt liber al aceluui niplu și o secțiune centrală care definește pragul de moment de torsiune de cuplare și suprafața filetată exterior a capătului liber de niplu cuprinzând filete complete, capătul liber de niplu cuprinde o porțiune care este adaptată să se coupleze cu o suprafață interioară a prăjinii, astfel încât să definească al doilea prag de moment de torsiune.

3. Ansamblu de prăjini de pompare, tubulare, pentru transmiterea momentului de torsiune, conform revendicării 2, **caracterizat prin aceea că**, capătul liber al prăjinii este îngroșat și cuprinde un diametru maxim al capătului îngroșat al prăjinii (**DEVU**), un diametru interior al capătului îngroșat al prăjinii (**DIVU**), un diametru interior al prăjinii la capătul liber (**DIFR1**), definite de următoarele rapoarte:

Rapoartele diametrelor	Domeniul		13
	Minimum	Maximum	
DEVU/DIVU	0,4	0,7	15
DIFR1/DEVU	0,75	0,95	17

4. Ansamblu de prăjini de pompare, tubulare, pentru transmiterea momentului de torsiune, conform revendicării 3, **caracterizat prin aceea că**, pentru un diametru interior al capătului îngroșat al prăjinii (**DIVU**) și un diametru interior al prăjinii la capătul interior filetat (**DIFR2**), sunt definite următoarele rapoarte:

Rapoartele diametrelor	Domeniul		23
	Minimum	Maximum	
DIVU/DIFR2	0,65	0,90	25

5. Ansamblu de prăjini de pompare, tubulare, pentru transmiterea momentului de torsiune, conform revendicării 2, **caracterizat prin aceea că**, în care, la ambele capete libere ale niplului, este prevăzută o suprafață filetată exterior, ce cuprinde filete complete și o porțiune de cuplare constituită dintr-o zonă cilindrică exterioară între fiecare capăt liber și începutul suprafeței filetate exterior pe fiecare capăt liber, zonele menționate definind o etanșare între o gaură interioară a prăjinii tubulare și filetele complete de pe fiecare capăt liber al niplului, care este apropiată de cel de-al doilea prag de moment de torsiune .

6. Ansamblu de prăjini de pompare, tubulare, pentru transmiterea momentului de torsiune, conform revendicării 2, **caracterizat prin aceea că** pragurile de moment de torsiune sunt conice și sunt dispuse la un unghi Beta între 80 și 90° și raportul diametrelor interioare ale găurii niplului, **DIN1/DIN2**, este între 0,4 și 1,00 și raportul unui diametru exterior și interior al găurii unui capăt îngroșat de țeavă, **DEVU/DIVU**, este între 0,4 și 0,7.

7. Ansamblu de prăjini de pompare, tubulare, pentru transmiterea momentului de torsiune, conform revendicării 2, **caracterizat prin aceea că** forma filetelui de pe fiecare capăt de niplu și prăjină este trapezoidală și asimetrică, cu un pas al filetelui de 6...8 filete/țol, care sunt diferențiale în conicitatea diametrală unul față de celălalt, toate filetele de pe niplu sunt complete și o parte din filetul de pe capătul prăjinii este incomplet, pe o distanță între 2 și 5 mm.

1 8. Ansamblu de prăjini de pompare, tubulare, pentru transmiterea momentului de
 3 torsiune, conform revendicării 2, **caracterizat prin aceea că** o rază la un vârf al primului prag
 5 de moment de torsiune de pe niplu este între 1,3 și 2,6 mm, o rază la un vârf al celui de-al
 7 doilea prag de moment de torsiune de pe niplu este între 0,6 și 1,0 mm, o rază la un vârf al
 9 primului prag de moment de torsiune de pe prăjină este între 0,7 și 2,0 mm și o rază la un
 11 vârf al celui de al doilea prag de moment de torsiune de pe prăjină este între 0,7 și 1,1 mm.

7 9. Ansamblu de prăjini de pompare, tubulare, pentru transmiterea momentului de
 9 torsiune, conform revendicării 2, **caracterizat prin aceea că** prezintă un joc, atunci când
 11 sunt strânse manual, între primul prag de moment de torsiune (**c1**) și al doilea prag de
 13 moment de torsiune (**c2**), conform relației $c_2 \geq c_1$, și $0 \text{ mm} \leq (c_2 - c_1) \leq 0,3 \text{ mm}$.

11 10. Ansamblu de prăjini de pompare, tubulare, pentru transmiterea momentului de
 13 torsiune, conform revendicării 9, **caracterizat prin aceea că** primul prag de moment de
 15 torsiune (**c1**) este aproximativ în domeniul 0,4 până la 2,5 mm și al doilea prag de moment
 17 de torsiune (**c2**) este aproximativ în domeniul 0,4 până la 2,8 mm.

15 11. Ansamblu de prăjini de pompare, tubulare, pentru transmiterea momentului de
 17 torsiune, ce cuprinde o multitudine de prăjini de pompare, tubulare și niște elemente de
 19 îmbinare pentru o garnitură, legate împreună și cu o unitate de pompare localizată la
 21 suprafața unei sonde de ție și cu o pompă rotativă localizată în adâncimea sondei de ție,
 23 în care cel puțin o prăjină de pompare tubulară are un prim capăt cuprinsând o suprafață
 25 internă filetată interior, care se cuplează cu o suprafață externă filetată exterior, pe cel puțin
 27 un element de îmbinare, în care filetele menționate sunt filete trapezoidale, modificate cu un
 29 pas al filetelui de 6...8 filete/țol care sunt diferențiale, în conicitatea diametrală, unul față de
 celălalt, primul capăt al cel puțin unei prăjini de pompare tubulare cuprinsând un prag de
 moment de torsiune inelar, care se cuplează cu un prag de moment de torsiune inelar, pe
 cel puțin un element de îmbinare, **caracterizat prin aceea că**, pentru un diametru exterior
 al elementului de îmbinare (**DEN**), diametrele interioare (**DIN1**, **DIN2**) ale elementului de
 îmbinare și un diametru al unui prim prag de moment de torsiune de pe elementul de
 îmbinare (**DHT1**) și un diametru al unui al doilea prag de moment de torsiune de pe capătul
 liber al elementului de îmbinare (**DHT2**) sunt definite următoarele rapoarte:

Rapoartele diametrelor	Domeniul	
	Minimum	Maximum
DHT1/DEN	0,7	0,9
DIN1/DEN	0,2	0,6
DIN1/DHT1	0,3	0,7
DIN2/DHT2	0,67	0,92

37 în care acele prăjini de pompare tubulare localizate în apropierea fiecărui capăt extrem al
 39 garniturii au o multitudine de găuri care se extind prin secțiunile de perete ale acelor prăjini,
 41 astfel încât să permită fluidului care curge în exteriorul acelor prăjini să curgă în interiorul
 43 găurii interioare a garniturii de antrenare și între capetele extreme ale garniturii de prăjini.

12. Ansamblu de prăjini de pompare, tubulare, pentru transmiterea momentului de
 14 torsiune, conform revendicării 11 **caracterizat prin aceea că**, capătul liber al prăjinii este
 16 îngroșat și cuprinde un diametru maxim al capătului îngroșat al prăjinii (**DEVU**), un diametru

RO 123504 B1

interior al capătului îngroșat al prăjinii (**DIVU**), un diametru interior al prăjinii la capătul liber (**DIFR1**) și sunt menținute următoarele rapoarte:

Rapoartele diametrelor	Domeniul	
	Minimum	Maximum
DEVU/DIVU	0,4	0,7
DIFR1/DEVU	0,75	0,95

13. Ansamblu de prăjini de pompare, tubulare, pentru transmiterea momentului de torsiune, conform revendicării 12, **caracterizat prin aceea că**, pentru un diametru interior al capătului îngroșat al prăjinii (**DIVU**) și un diametru interior al prăjinii la capătul interior cu filet (**DIFR2**), este definit următorul raport:

Rapoartele diametrelor	Domeniul	
	Minimum	Maximum
DIVU/DIFR2	0,65	0,90

14. Ansamblu de prăjini de pompare, tubulare, pentru transmiterea momentului de torsiune, conform revendicării 11, **caracterizat prin aceea că** multitudinea de găuri este executată radial prin secțiunile de perete menționate ale acelor prăjini de pompare care sunt în apropierea fiecărui capăt extrem al garniturii, unghiurile pragurilor de moment de torsiune sunt conice și sunt dispuse la un unghi Beta între 80 și 90°, iar o rază la vârful primului prag de moment de torsiune de pe prăjină este între 0,7 și 2,0 mm și o rază la vârful celui de-al doilea prag de moment de torsiune este între 0,7 și 1,1 mm.

15. Ansamblu de prăjini de pompare, tubulare, pentru transmiterea momentului de torsiune, conform revendicării 11, **caracterizat prin aceea că** multitudinea de găuri este dispusă într-un mod simetric în jurul liniei centrale a prăjinii, în secțiunile de perete ale acelor prăjini de pompare care sunt apropriate de fiecare capăt extrem al garniturii.

16. Ansamblu de prăjini de pompare, tubulare, pentru transmiterea momentului de torsiune, conform revendicării 11, **caracterizat prin aceea că** multitudinea de găuri cuprinde între aproximativ 62 și 162 găuri, care sunt dispuse în seturi de una până la trei găuri la secțiuni transversale specifice, de-a lungul liniei centrale a prăjinii, în secțiunile peretilor acelor prăjini ale pompelor care sunt apropriate de fiecare capăt extrem al garniturii.

17. Ansamblu de prăjini de pompare, tubulare, pentru transmiterea momentului de torsiune, conform revendicării 11, **caracterizat prin aceea că** multitudinea de găuri cuprinde între aproximativ 62 și 162 găuri, care sunt dispuse pe o cale elicoidală în jurul liniei centrale a prăjinii, în secțiunile peretilor acelor prăjini de pompare care sunt apropriate de fiecare capăt extrem al garniturii.

(51) Int.Cl.

E21B 17/042 (2006.01),

E21B 19/16 (2006.01),

F16L 25/00 (2006.01)

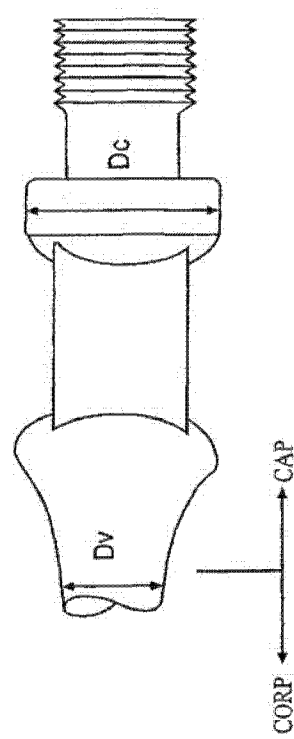


Fig. 1A

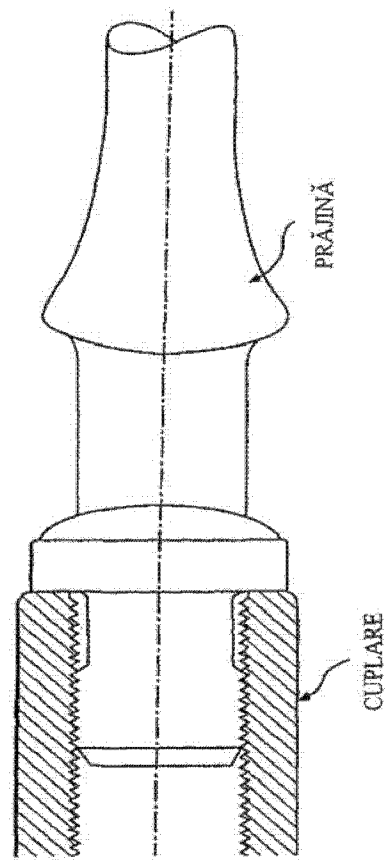


Fig. 1B

RO 123504 B1

(51) Int.Cl.

E21B 17/042 (2006.01);

E21B 19/16 (2006.01);

F16L 25/00 (2006.01)

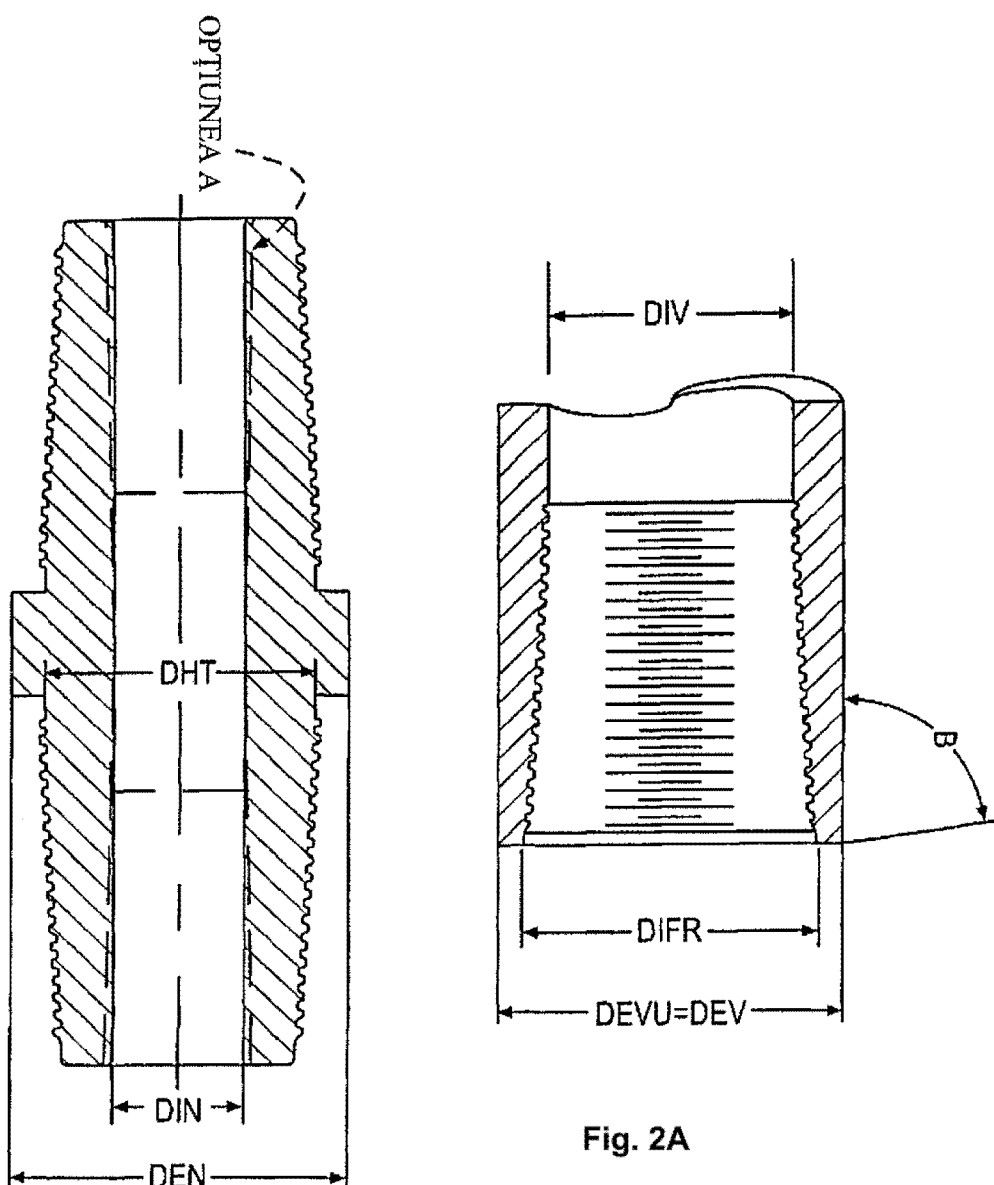


Fig. 2B

Fig. 2A

(51) Int.Cl.

E21B 17/042 (2006.01),

E21B 19/16 (2006.01),

F16L 25/00 (2006.01)

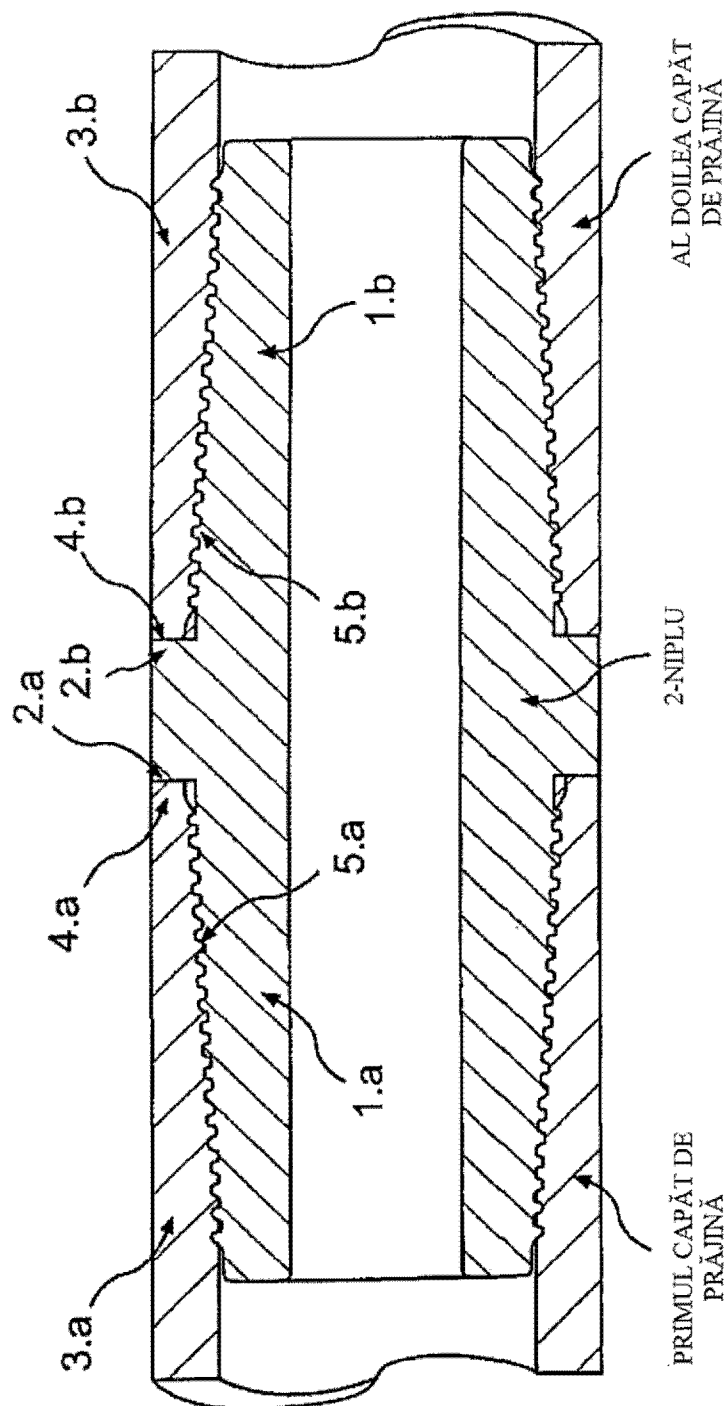


Fig. 3

(51) Int.Cl.

E21B 17/042 (2006.01);

E21B 19/16 (2006.01);

F16L 25/00 (2006.01)

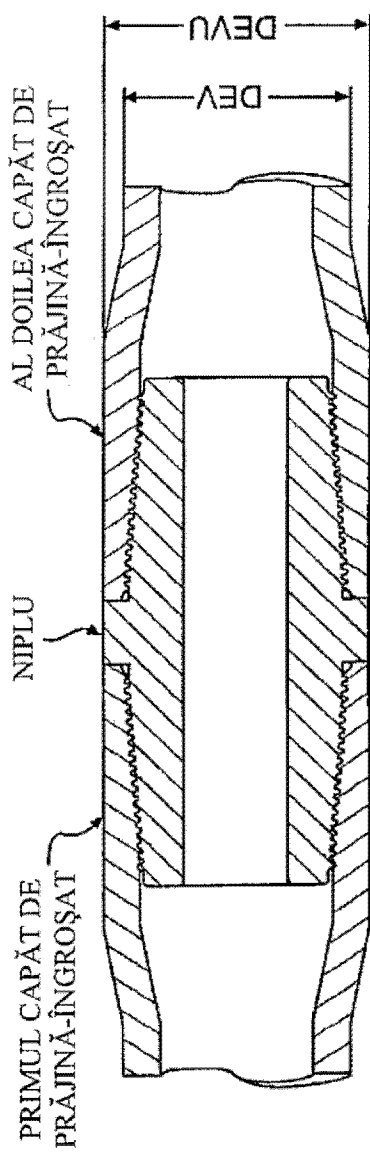


Fig. 3A

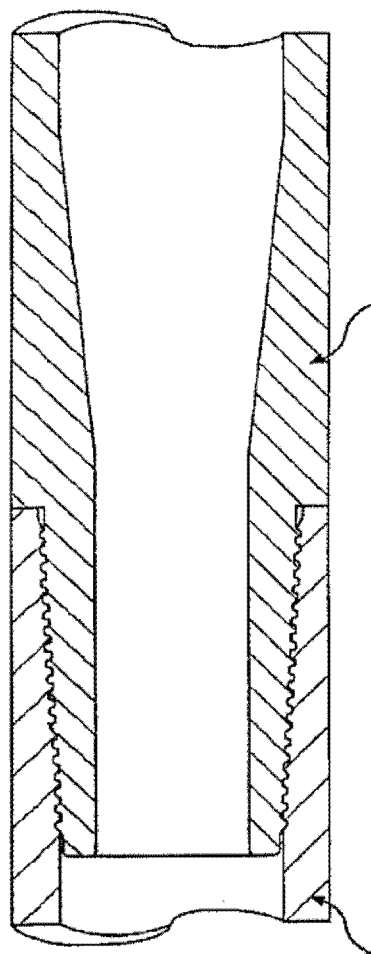


Fig. 3B

PRIMUL CAPĂT
DE PRĂJINĂ

RO 123504 B1

(51) Int.Cl.

E21B 17/042 (2006.01);

E21B 19/16 (2006.01);

F16L 25/00 (2006.01)

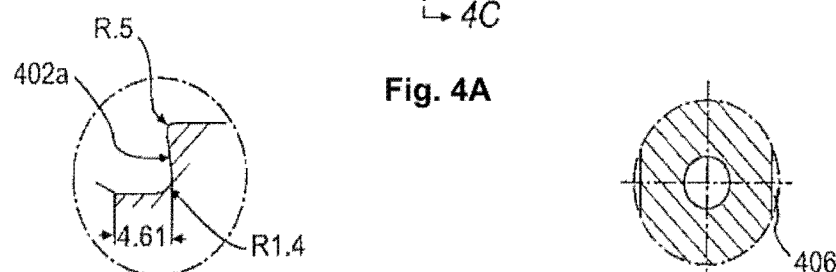
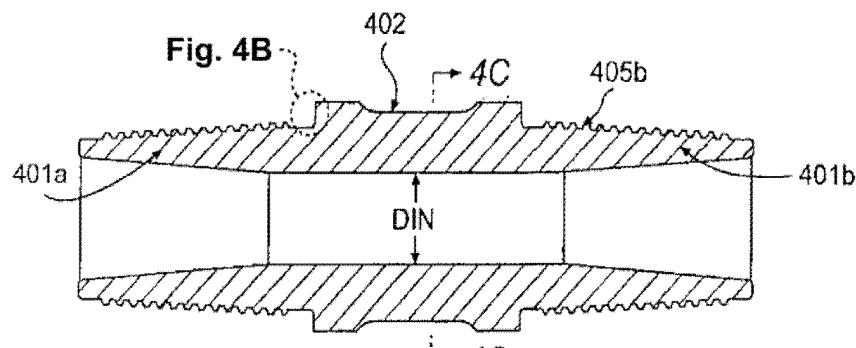


Fig. 4B

Fig. 4C

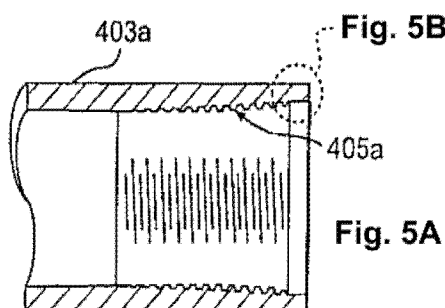
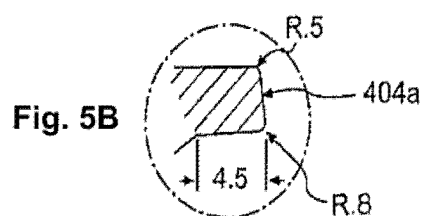


Fig. 5A



RO 123504 B1

(51) Int.Cl.

E21B 17/042 (2006.01);

E21B 19/16 (2006.01);

F16L 25/00 (2006.01)

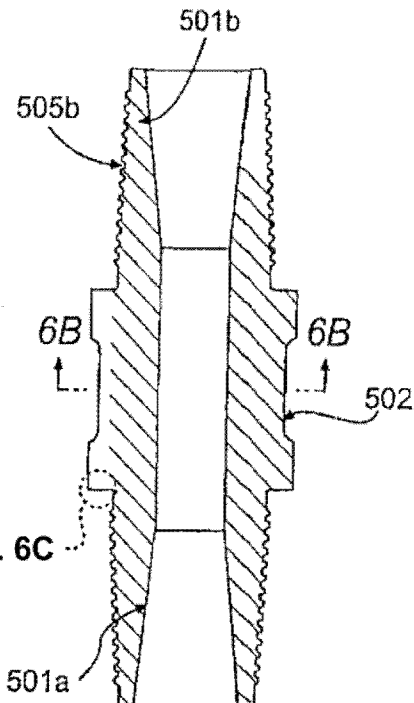


Fig. 6A

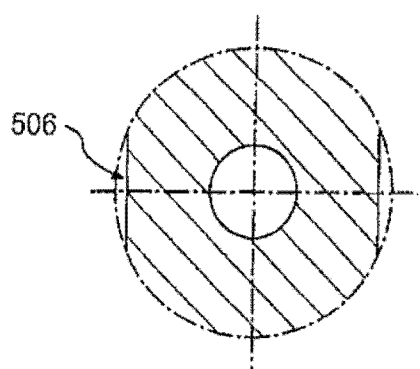


Fig. 6B

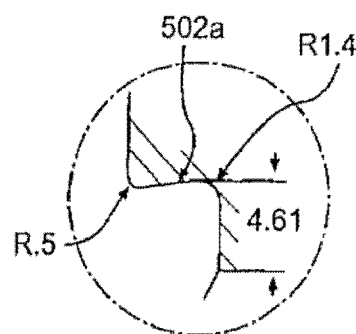


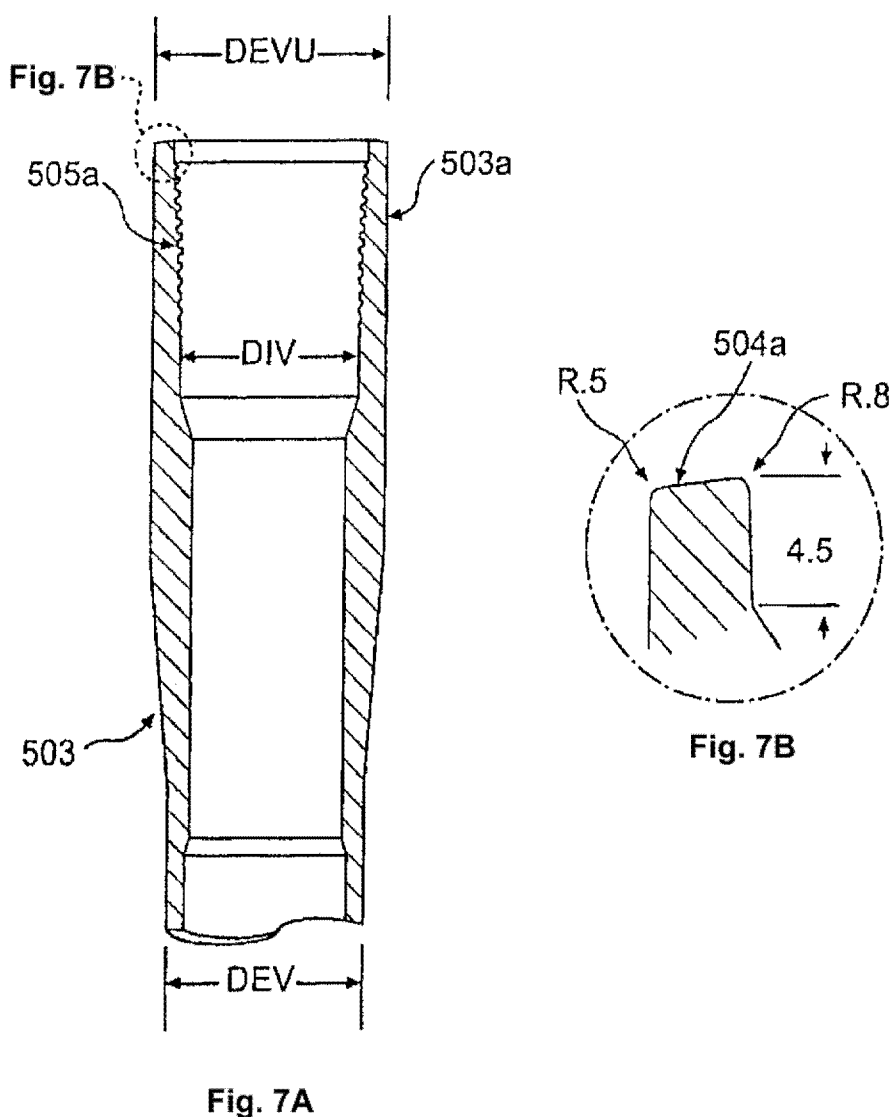
Fig. 6C

(51) Int.Cl.

E21B 17/042 (2006.01);

E21B 19/16 (2006.01);

F16L 25/00 (2006.01)



RO 123504 B1

(51) Int.Cl.

E21B 17/042 (2006.01);

E21B 19/16 (2006.01);

F16L 25/00 (2006.01)

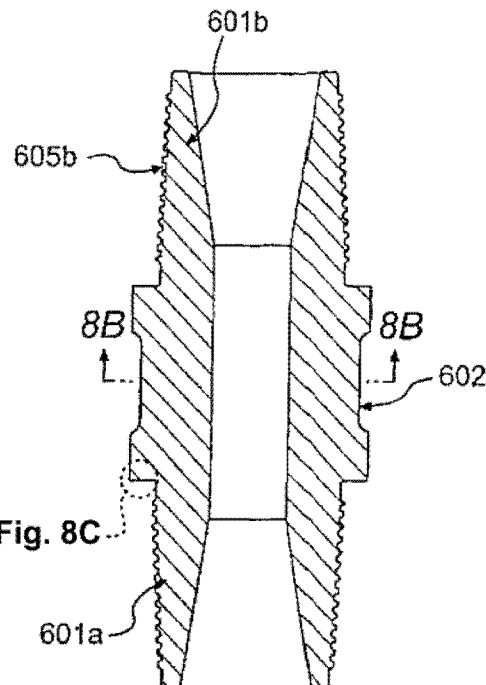


Fig. 8C

Fig. 8A

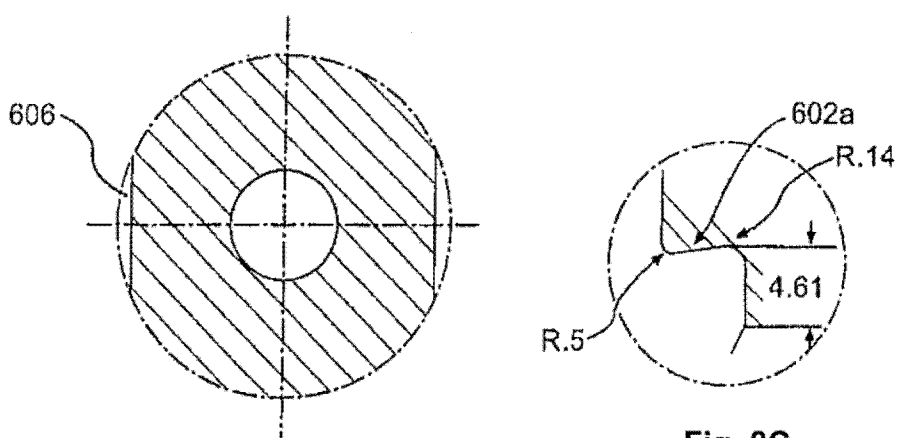


Fig. 8B

Fig. 8C

(51) Int.Cl.

E21B 17/042 (2006.01);

E21B 19/16 (2006.01);

F16L 25/00 (2006.01)

Fig. 9B

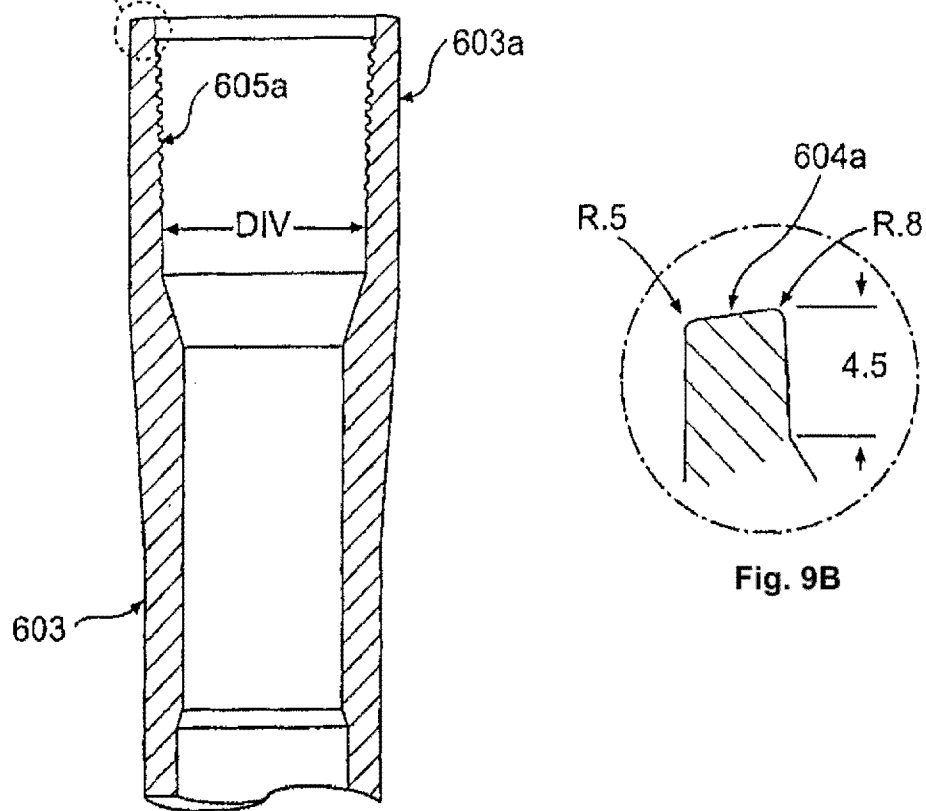


Fig. 9A

RO 123504 B1

(51) Int.Cl.

E21B 17/042 (2006.01);

E21B 19/16 (2006.01);

F16L 25/00 (2006.01)

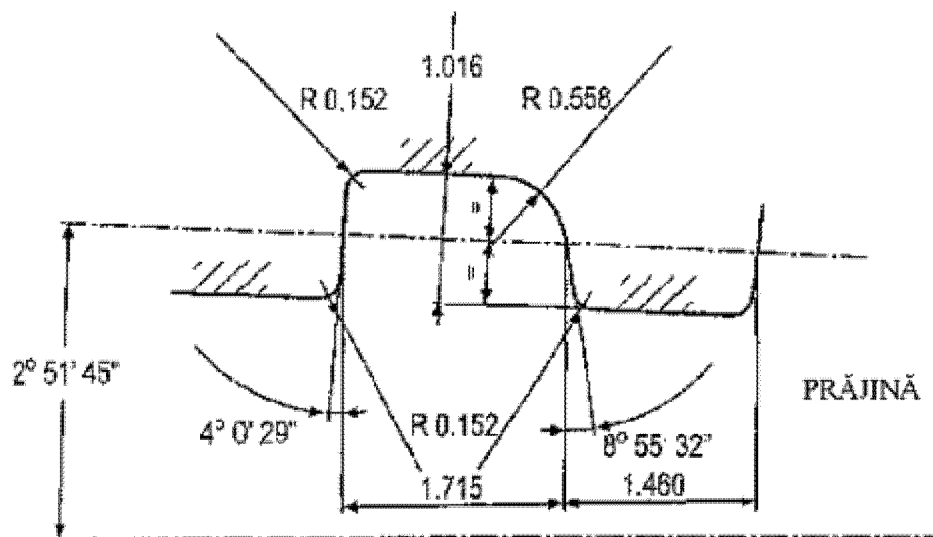


Fig. 10A

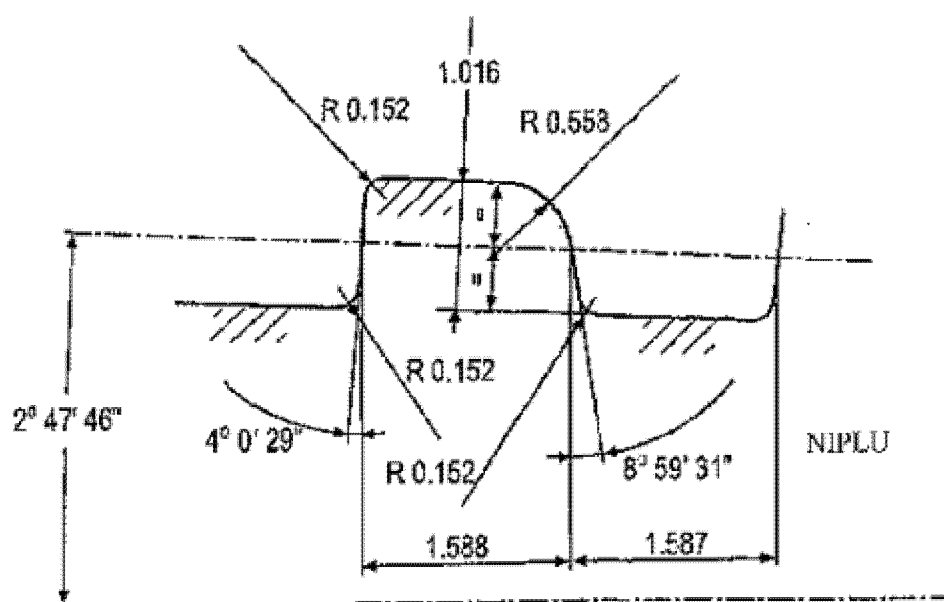


Fig. 10B

(51) Int.Cl.

E21B 17/042 (2006.01);

E21B 19/16 (2006.01);

F16L 25/00 (2006.01)

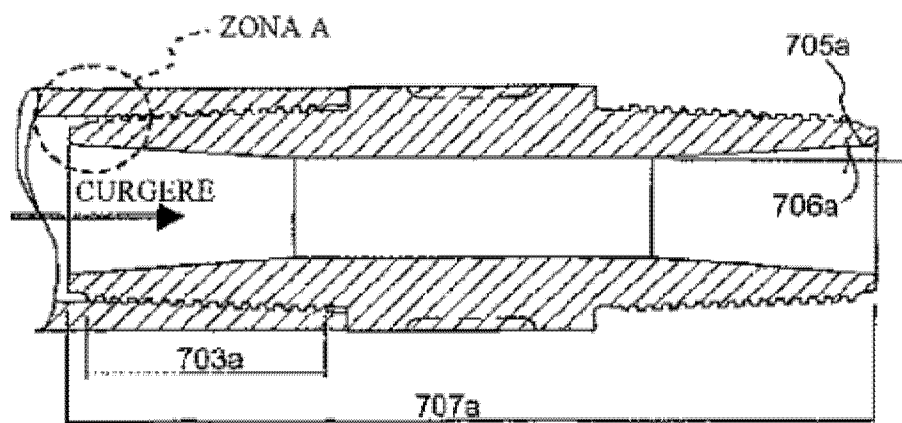


Fig. 11

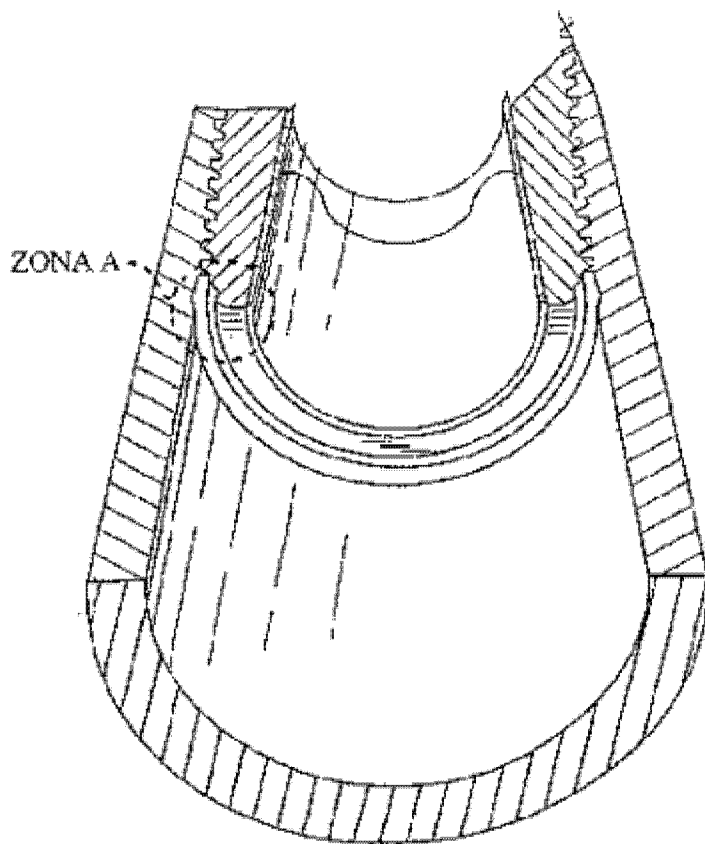


Fig. 12

RO 123504 B1

(51) Int.Cl.

E21B 17/042 (2006.01);

E21B 19/16 (2006.01);

F16L 25/00 (2006.01)

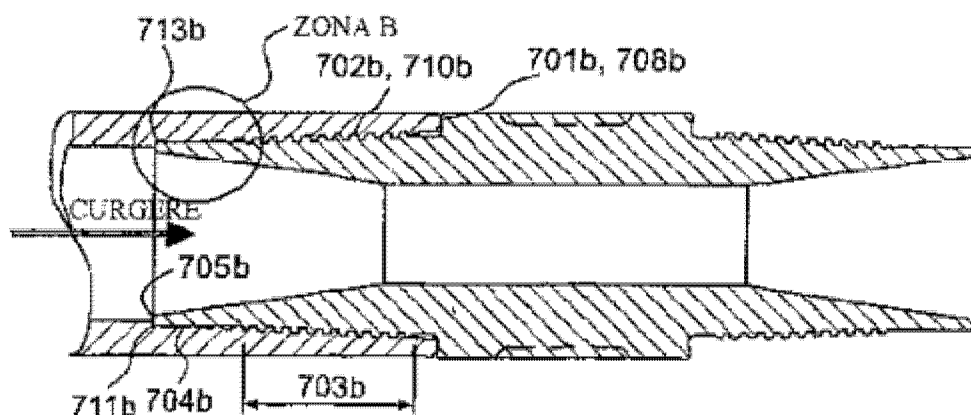


Fig. 13

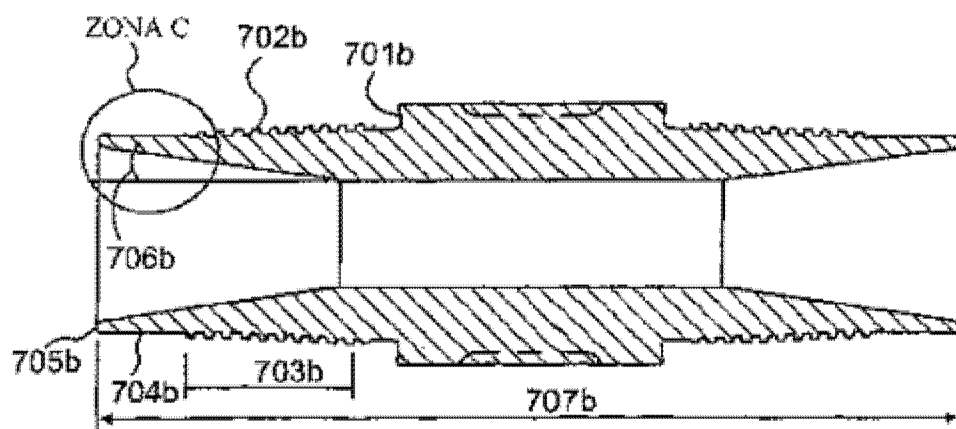


Fig. 14

RO 123504 B1

(51) Int.Cl.

E21B 17/042 (2006.01);

E21B 19/16 (2006.01);

F16L 25/00 (2006.01)

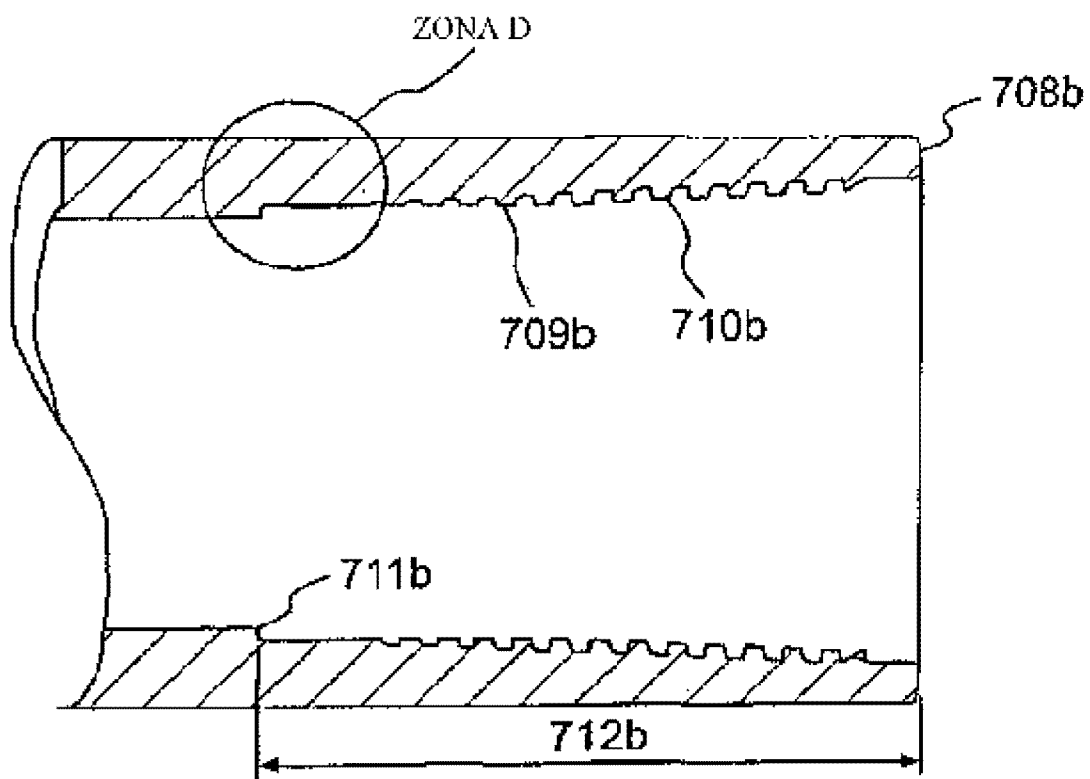


Fig. 15

RO 123504 B1

(51) Int.Cl.

E21B 17/042 (2006.01);

E21B 19/16 (2006.01);

F16L 25/00 (2006.01)

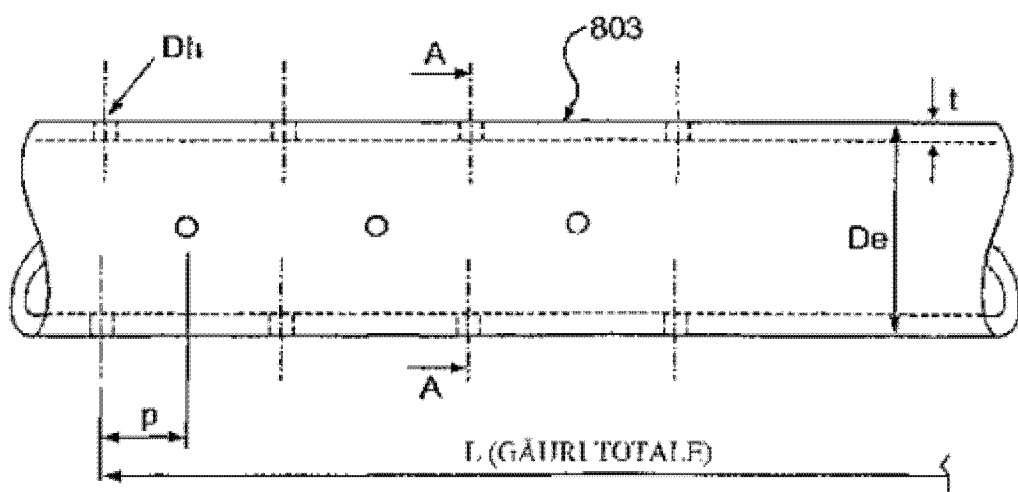


Fig. 16A

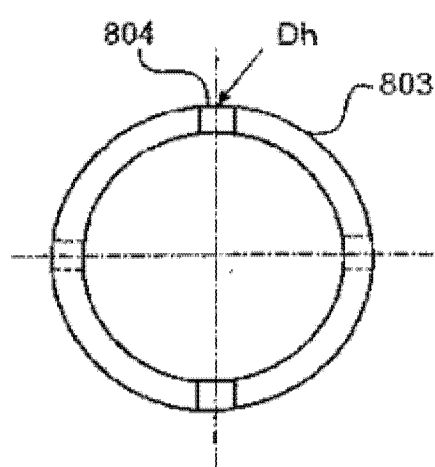


Fig. 16B

RO 123504 B1

(51) Int.Cl.

E21B 17/042 (2006.01);

E21B 19/16 (2006.01);

F16L 25/00 (2006.01)

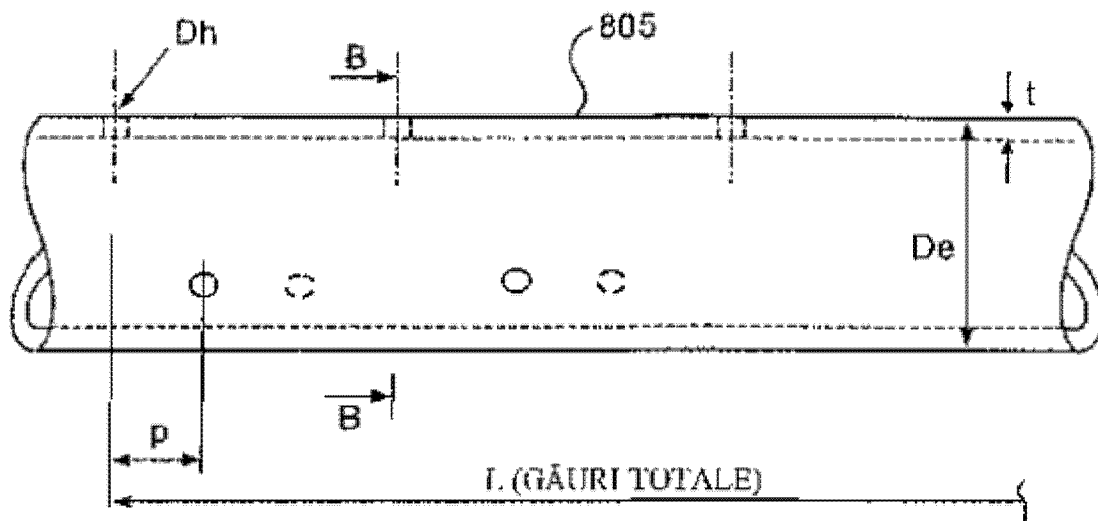


Fig. 17A

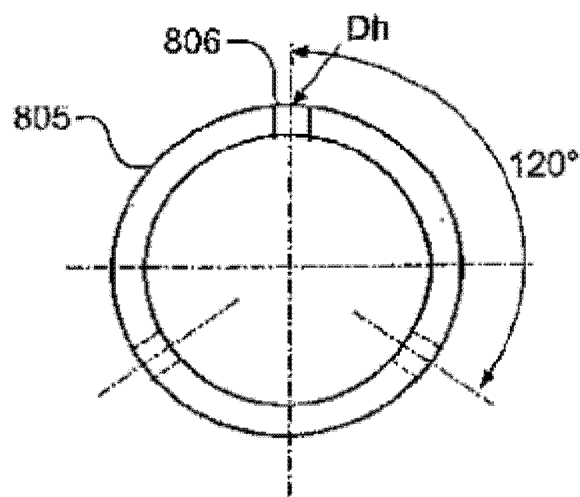


Fig. 17B

RO 123504 B1

(51) Int.Cl.

E21B 17/042 (2006.01);

E21B 19/16 (2006.01);

F16L 25/00 (2006.01)

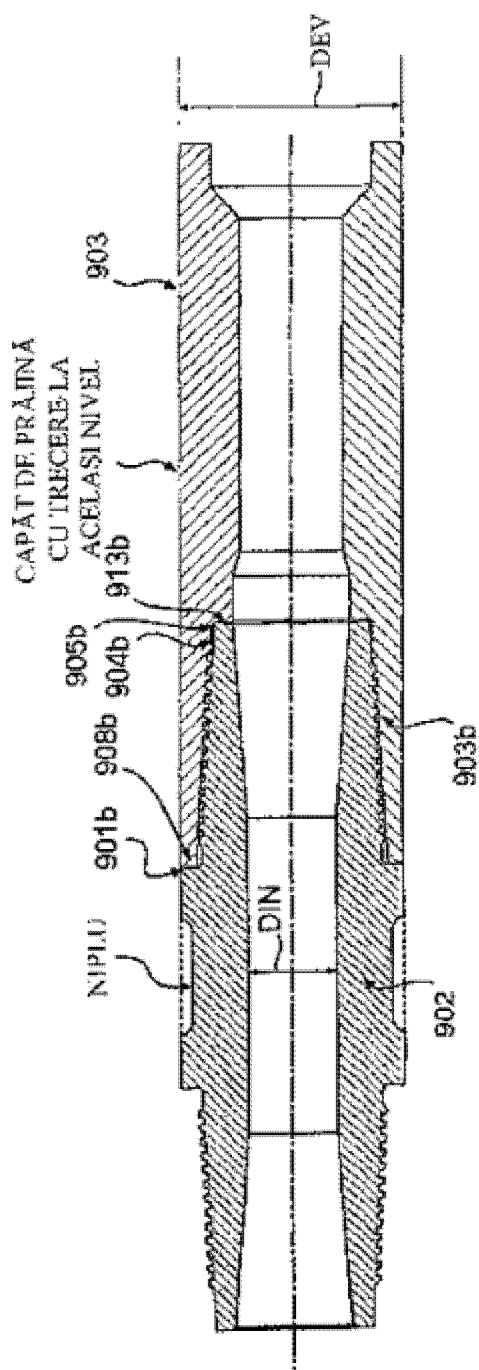


Fig. 19

RO 123504 B1

(51) Int.Cl.

E21B 17/042 (2006.01);

E21B 19/16 (2006.01);

F16L 25/00 (2006.01)

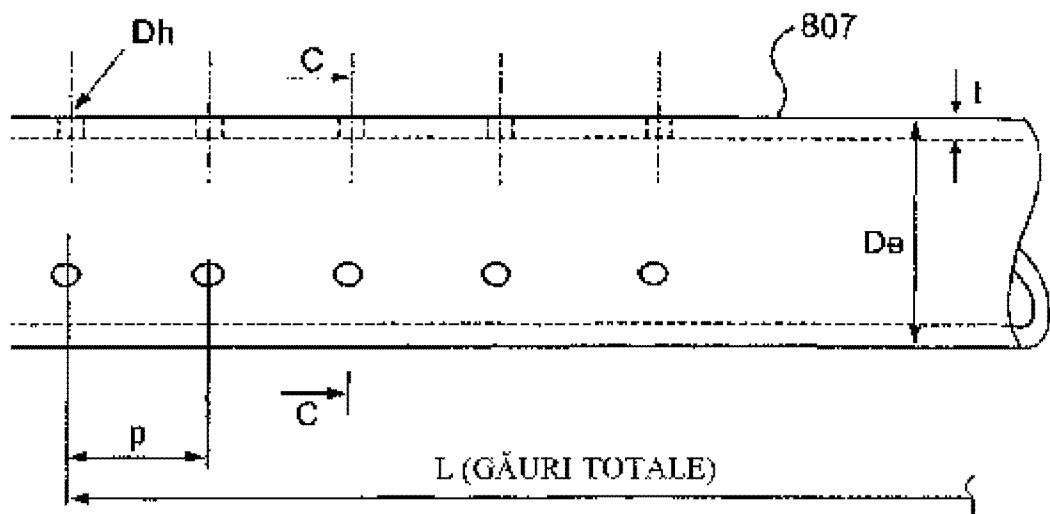


Fig. 18A

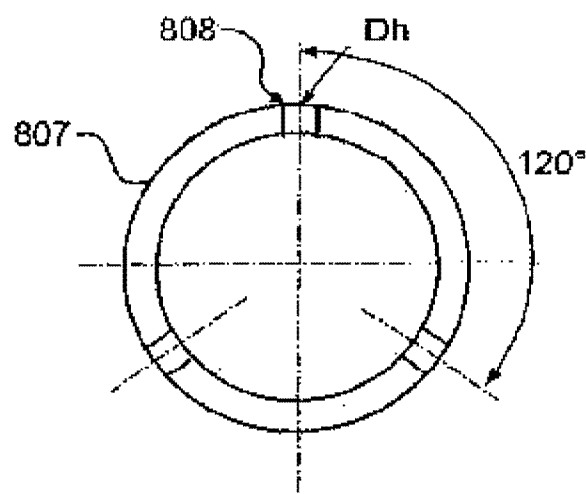


Fig. 18B

RO 123504 B1

(51) Int.Cl.

E21B 17/042 (2006.01);

E21B 19/16 (2006.01);

F16L 25/00 (2006.01)

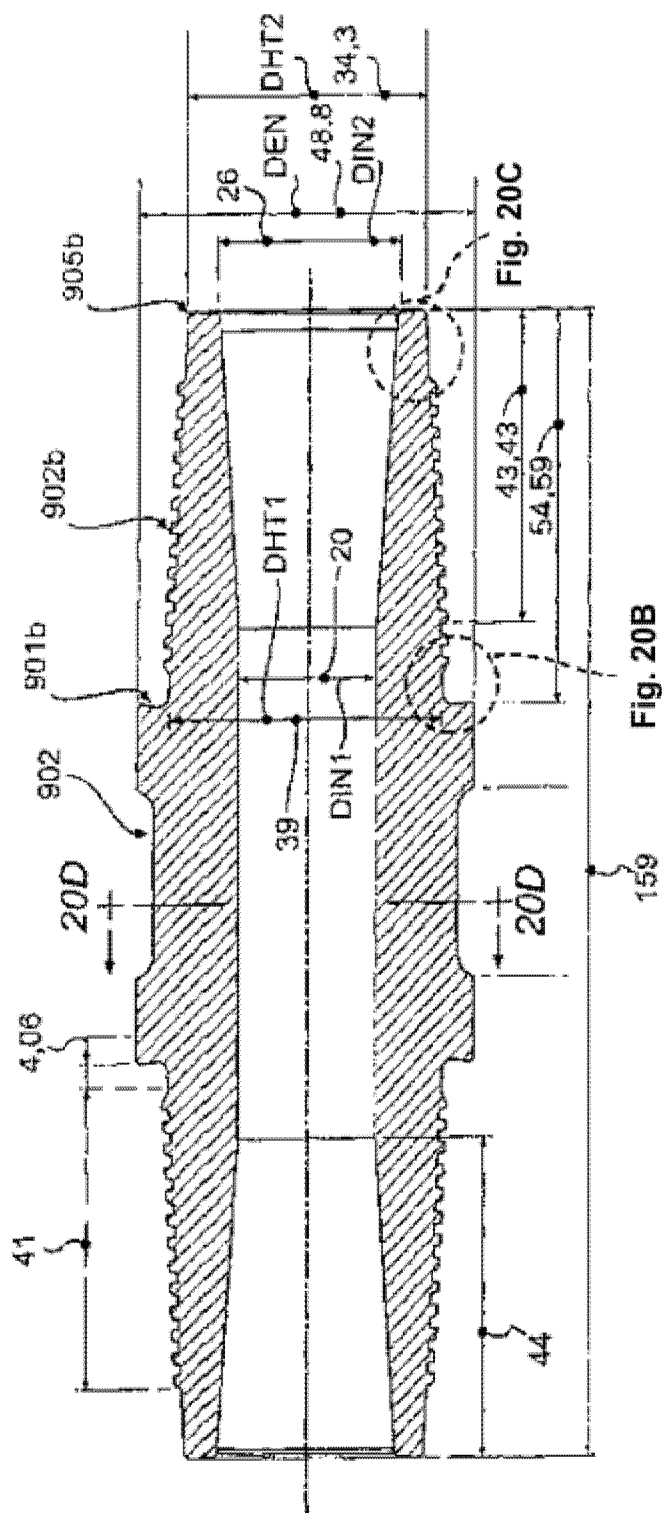


Fig. 20A

Fig. 20B

Fig. 20C

RO 123504 B1

(51) Int.Cl.

E21B 17/042 (2006.01);

E21B 19/16 (2006.01);

F16L 25/00 (2006.01)

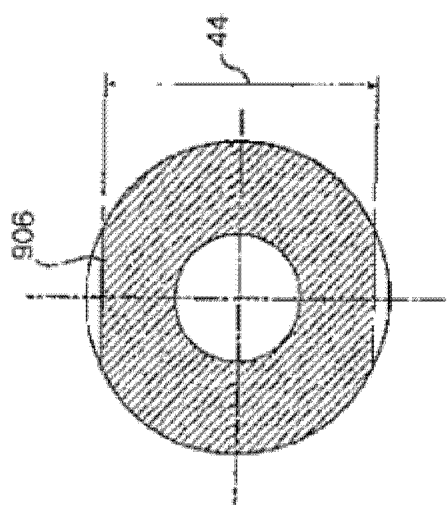


Fig. 20D

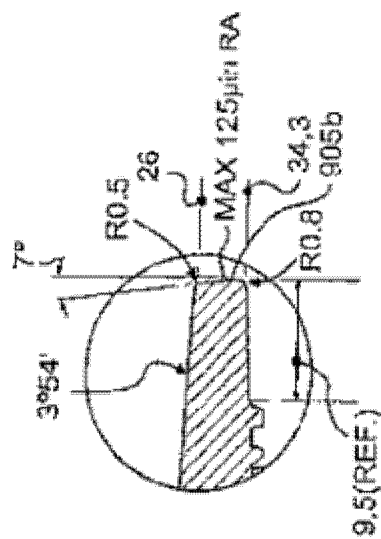


Fig. 20C

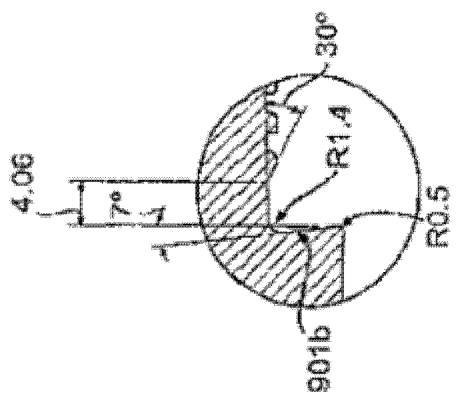


Fig. 20B

RO 123504 B1

(51) Int.Cl.

E21B 17/042 (2006.01);

E21B 19/16 (2006.01);

F16L 25/00 (2006.01)

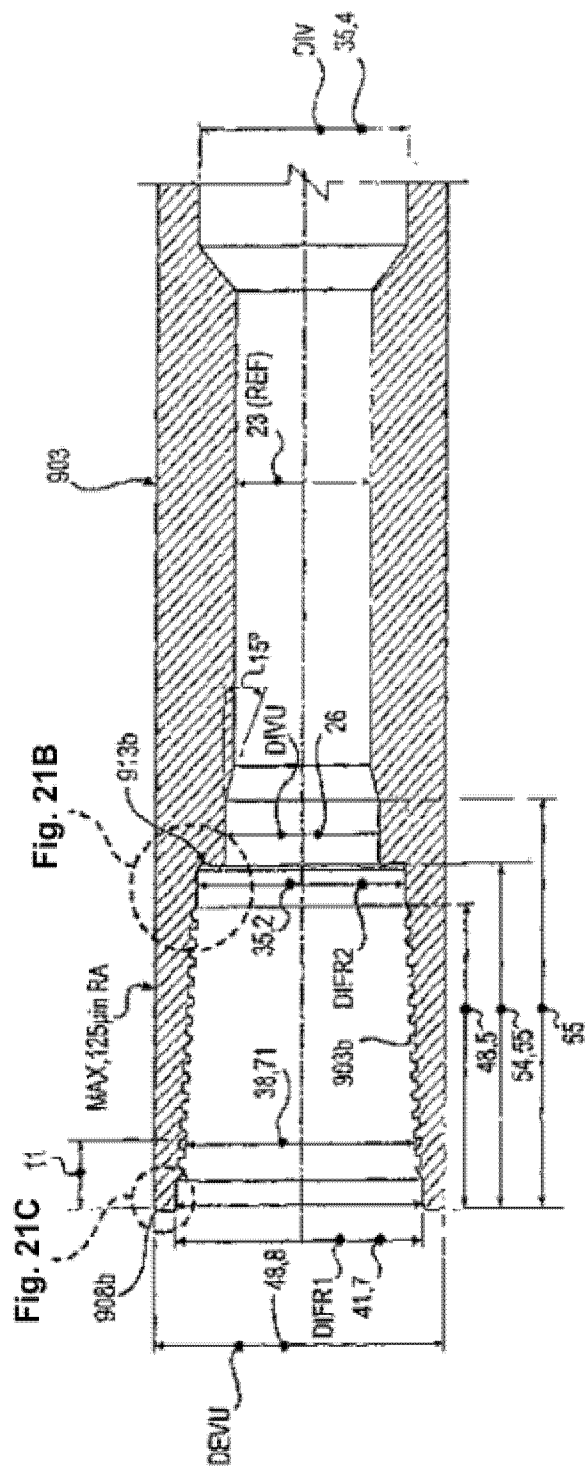


Fig. 21A

Fig. 21B

Fig. 21C

RO 123504 B1

(51) Int.Cl.

E21B 17/042 (2006.01);

E21B 19/16 (2006.01);

F16L 25/00 (2006.01)

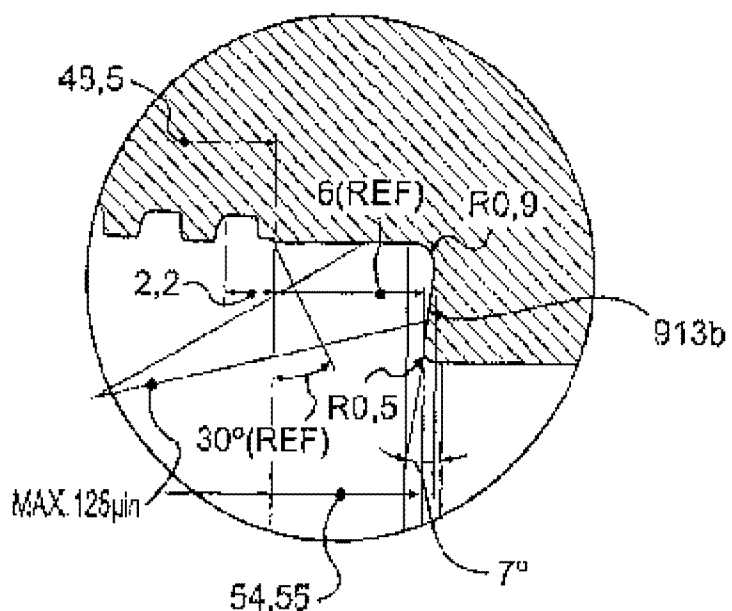


Fig. 21B

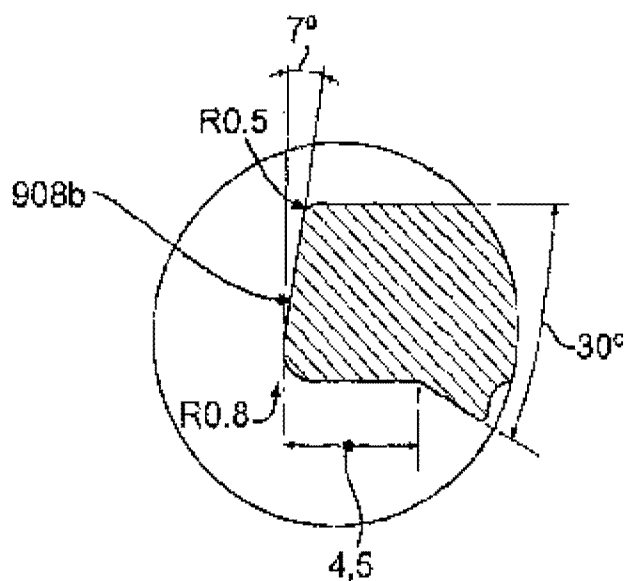


Fig. 21C

RO 123504 B1

(51) Int.Cl.

E21B 17/042 (2006.01);

E21B 19/16 (2006.01);

F16L 25/00 (2006.01)

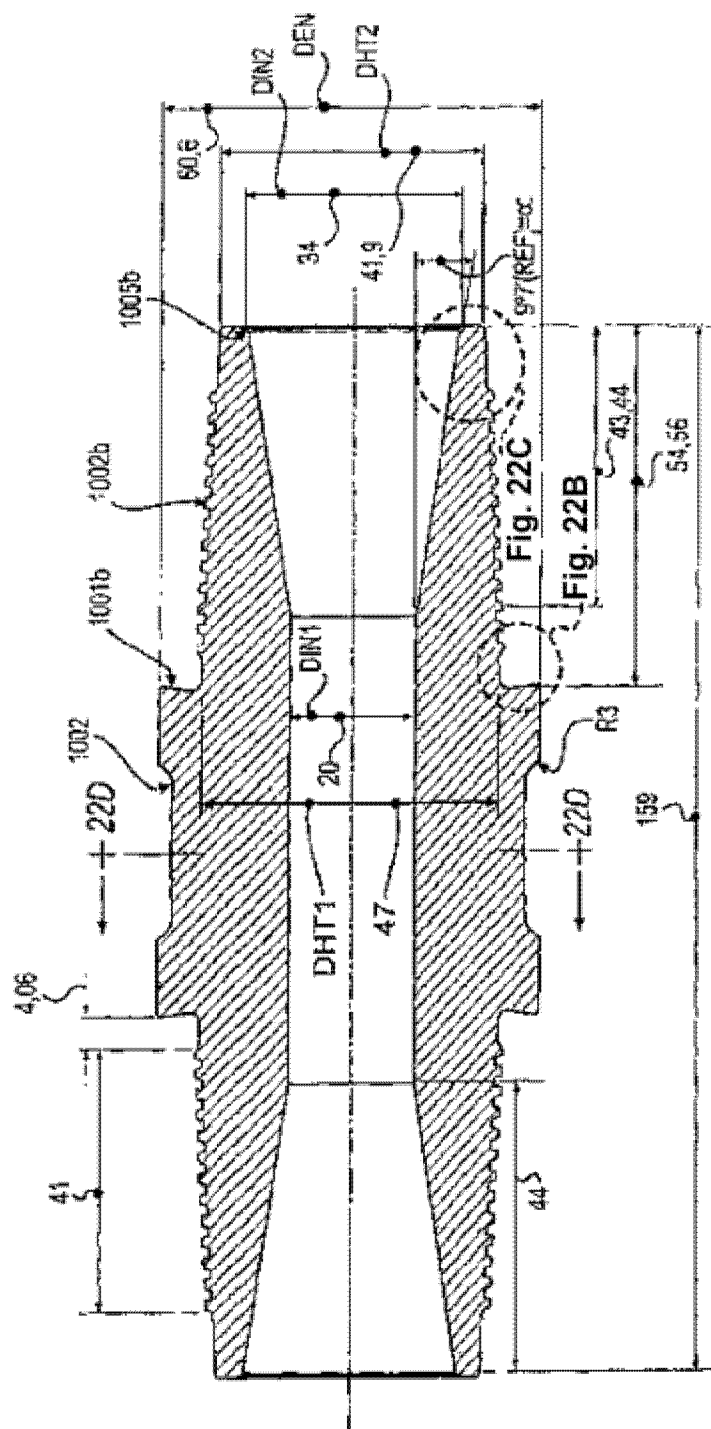


Fig. 22A

RO 123504 B1

(51) Int.Cl.

E21B 17/042 (2006.01);

E21B 19/16 (2006.01);

F16L 25/00 (2006.01)

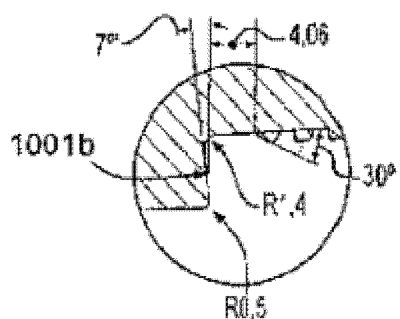


Fig. 22B

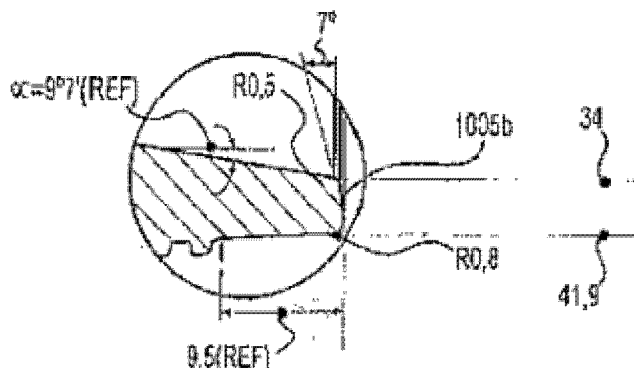


Fig. 22C

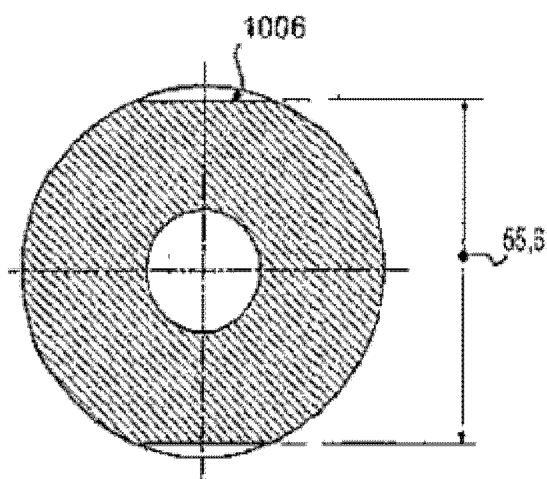


Fig. 22D

(51) Int.Cl.

E21B 17/042 (2006.01);

E21B 19/16 (2006.01);

F16L 25/00 (2006.01)

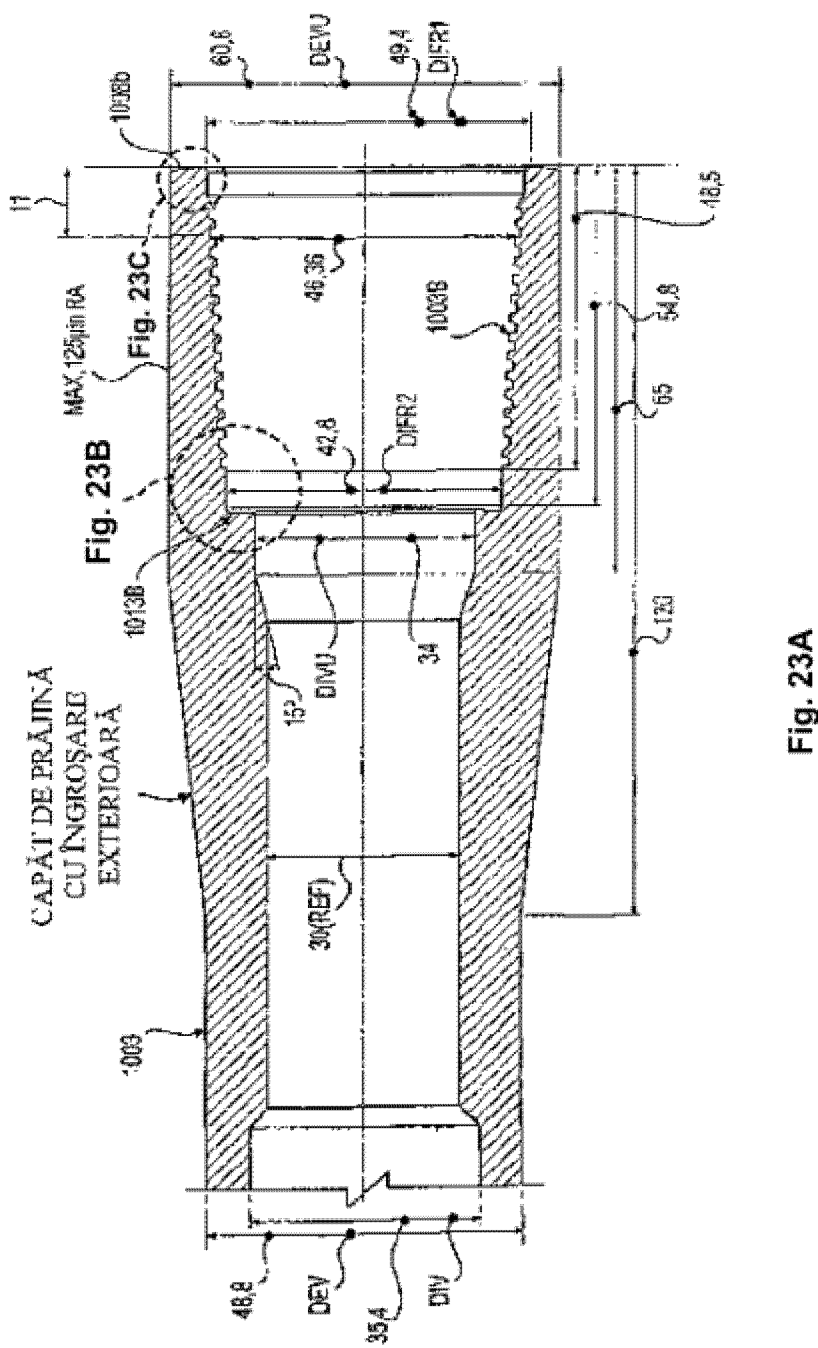


Fig. 23A

(51) Int.Cl.

E21B 17/042 (2006.01);

E21B 19/16 (2006.01);

F16L 25/00 (2006.01)

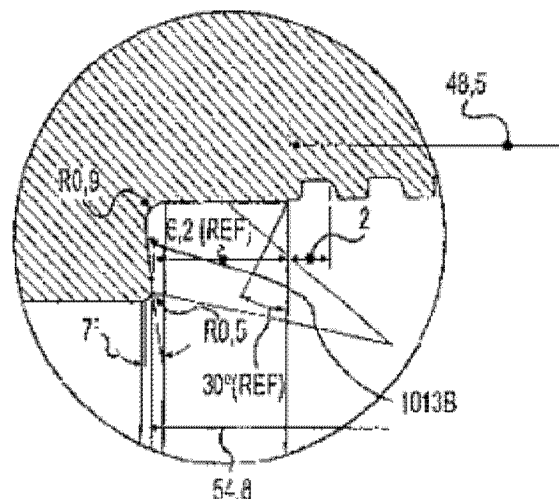


Fig. 23B

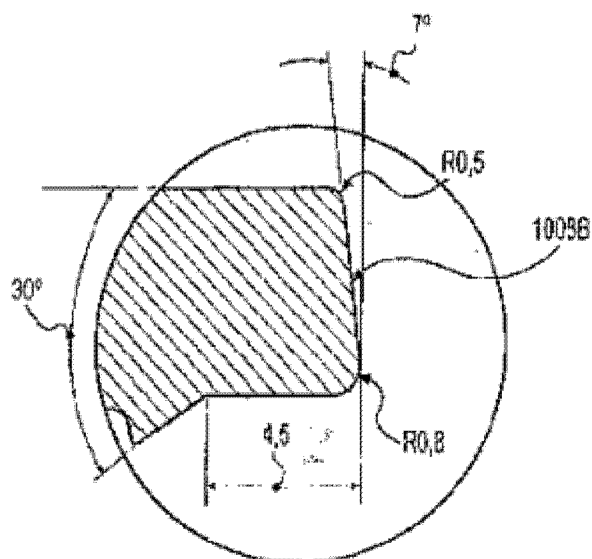


Fig. 23C

